

03072  
UNIVERSIDAD NACIONAL AUTONOMA DE MEXICO

UNIDAD ACADEMICA DE LOS CICLOS PROFESIONAL Y DE  
POSGRADO DEL COLEGIO DE CIENCIAS Y HUMANIDADES  
INSTITUTO DE BIOTECNOLOGIA

AT33  
SLJAZ



CARACTERIZACION DE LA REGION GENOMICA  
QUE CODIFICA PARA UNA VARIANTE DE LA  
TOXINA Cn (II-14) DEL VENENO DEL ALACRAN  
*Centruroides nodus Hoffmann*

T E S I S  
QUE PARA OBTENER EL GRADO DE  
MAESTRA EN BIOTECNOLOGIA  
P R E S E N T A  
JUANA VIRGINIA TAPIA VIEYRA  
CUERNAVACA, MOR.  
DE 1997.

TESIS CON  
FALLA DE ORIGEN



**UNAM – Dirección General de Bibliotecas**

**Tesis Digitales**  
**Restricciones de uso**

**DERECHOS RESERVADOS ©**  
**PROHIBIDA SU REPRODUCCIÓN TOTAL O PARCIAL**

Todo el material contenido en esta tesis está protegido por la Ley Federal del Derecho de Autor (LFDA) de los Estados Unidos Mexicanos (Méjico).

El uso de imágenes, fragmentos de videos, y demás material que sea objeto de protección de los derechos de autor, será exclusivamente para fines educativos e informativos y deberá citar la fuente donde la obtuvo mencionando el autor o autores. Cualquier uso distinto como el lucro, reproducción, edición o modificación, será perseguido y sancionado por el respectivo titular de los Derechos de Autor.

**El presente trabajo se llevó a cabo bajo la dirección del Dr. Baltazar Becerril Luján en el laboratorio del Dr. Lourival Domingos Possani Postay, del Departamento de Reconocimiento Molecular y Bioestructura del Instituto de Biotecnología de la Universidad Nacional Autónoma de México.**

**A mis padres y mis hermanos:  
Antonio y Carmen**

**A ti, porque no preciso tiempo  
ni espacio y menos aún, una definición.**

**A todos mis amigos, muy especialmente a Nacho.**

## A G R A D E C I M I E N T O S

- . A la Universidad Nacional Autónoma de México por permitirme realizar en ella mis estudios.
- . Al Dr. Lourival D. Possani Postay por darme la oportunidad de trabajar en su laboratorio, por su confianza, y por todo el apoyo que siempre me ha brindado.
- . Al Dr. Baltazar Becerril Luján por la dirección en el desarrollo del proyecto y por su inquebrantable entusiasmo.
- . Al M. en Biotecnología Miguel Corona Villegas por el tiempo dedicado en el aprendizaje y manejo de algunas estrategias.
- . A todos mis compañeros y amigos del laboratorio por todo su apoyo.

Este trabajo fue financiado en parte por Howard Hughes Medical Institute (No.75191-527104) y el Consejo Nacional de Ciencia y Tecnología (CONACyT) (No. 4734-N), concedidos al laboratorio del Dr. Lourival D. Possani Postay. La alumna recibió beca de maestría del CONACyT No. 90284.

**Comité Tutorial**

**Dr. Baltazar Becerril Luján**

**Dr. Mario Enrique Zurita Ortega**

**Dr. Omar Pantoja Ayala**

**Jurado de Examen**

**Presidente**

**Dr. Baltazar Becerril Luján**

**Secretario**

**Dr. Enrique Merino Pérez**

**Vocal**

**Dr. Vicente Madrid Marina**

**Suplente**

**Dr. Mario Enrique Zurita Ortega**

**Suplente**

**Dr. Lourival Domingos Possani Postay**

## **INDICE DE FIGURAS**

- Fig. 1 Secuencia nucleotídica de las clonas de DNAc CngtI-CngtIX y sus secuencias de aminoácidos deducidas a partir de las mismas.**
- Fig. 2 Secuencia nucleotídica del DNAc de la clona CngtVI correspondiente a la toxina II-14 (Cn 1).**
- Fig. 3 Secuencia primaria de la toxina Cn1 (II-14).**
- Fig. 4 Autoradiografía en donde se muestra la hibridización del producto de PCR (oligos 5'Gen y Ctox) con un tamaño de 800 pares de bases (pb).**
- Fig. 5 Producto de amplificación por PCR con un tamaño aproximado al de la clona de DNAc (Cngt VI).**
- Fig. 6 Producto de amplificación del DNA genómico con los oligonucleótidos 5'Gen e Int2Cn1, con un tamaño de alrededor de 1100 pb.**
- Fig. 7 Secuencia nucleotídica de la clona de alrededor de 1100 pb.**
- Fig. 8 Producto de amplificación por PCR, con los oligonucleótidos 5' Gen y Ctox, con un tamaño de aproximadamente 1300 pb.**
- Fig. 9 Secuencia nucleotídica de la clona de 1300 pb.**
- FIG.10 Alineamiento de secuencia nucleotídica de las clonas de 1100 pb, 1300pb y CngtVI.**

## **INDICE**

<b>RESUMEN.....</b>	<b>1</b>
<b>INTRODUCCION.....</b>	<b>2</b>
1. Alacranes.....	2
2. Importancia del Estudio del Veneno de Alacran.....	2
3. Extracción y Caracterización del Veneno.....	3
4. Las Toxinas del Veneno de Alacran.....	4
4.1 Clasificación.....	4
<b>ANTECEDENTES.....</b>	<b>7</b>
<b>OBJETIVO.....</b>	<b>11</b>
<b>METODOLOGIA.....</b>	<b>11</b>
1. Extracción del DNA del alacran <i>Centruroides noxius</i> Hoffmann.....	11
2. Purificación del DNA de <i>C. noxius</i> Hoffmann.....	11
3. Diseño de oligonucleótidos específicos.....	12
4. Reacción en Cadena de la Polimerasa (PCR).....	13
5. Transferencia por el Método de Southern de los productos de amplificación por PCR .....	13
6. Ensayos de hibridización de los productos de amplificación que fueron transferidos.....	13
7. Subclonación.....	13
8. Secuencia Nucleotídica.....	13
9. Análisis e Interpretación de la Secuencia.....	13
<b>RESULTADOS Y DISCUSIÓN.....</b>	<b>14</b>
<b>CONCLUSIONES.....</b>	<b>27</b>
<b>PERSPECTIVAS FUTURAS.....</b>	<b>28</b>
<b>REFERENCIAS.....</b>	<b>29</b>
<b>ANEXO.....</b>	<b>34</b>

## RESUMEN

A partir del análisis de la secuencias nucleotídicas que han sido obtenidas de las clonas de Ácido Desoxirribonucléico Complementario (DNAc), que codifican para toxinas bloqueadoras de canales de  $\text{Na}^+$ , del alacrán *Centruroides noxius* Hoffmann, ha podido observarse la alta homología de secuencia que existe entre ellas. La secuencia de la clona CngtVI de la que se comprobó que codifica para la toxina Cn 1 (II-14) del alacrán *C. noxius* Hoffmann, presenta algunas características útiles que permitieron el diseño de un conjunto de oligonucleótidos utilizados para la detección y amplificación de la región genómica que codificara para esta toxina, o bien para una toxina semejante, si se toma en cuenta la homología de secuencia entre las mismas. Los oligonucleótidos diseñados, se utilizaron para el empleo de la técnica de Reacción en Cadena de la Polimerasa (PCR), en donde se usó como templado el DNA genómico de la especie mencionada. Después de llevar a cabo varios intentos de amplificación del DNA genómico, finalmente se montaron las condiciones de amplificación específica y se aisló una clona de 1292 pb, que correspondió a la unidad génica estructural que codifica para una variante de la toxina Cn1 (II-14), así como también se aisló y secuenció una clona de alrededor de 1100 pb, la cual aparentemente está truncada, pero considerando las características que presenta, pudiera tratarse de la región genómica codificante para una toxina semejante a la II-14 (Cn1). La región genómica que codifica para la variante de la toxina Cn 1 (II-14) constituye la primera en ser aislada y caracterizada para un alacrán mexicano en este caso *Centruroides noxius* Hoffmann. El análisis de ambas secuencias se discute en este trabajo.

## I N T R O D U C C I O N

### 1. Alacranes

Los alacranes son animales artrópodos pertenecientes a la Clase Arachnida y al orden Scorpionida. El metasoma o cola del cuerpo del alacrán termina en un segmento bulboso llamado telson. Este es el órgano que utiliza para inyectar el veneno a sus presas (Keegan, 1980). Los alacranes se encuentran distribuidos en varias regiones del mundo, tales como: Este y Norte de África, el Cáucaso, el Medio Oriente, la India, Brasil, Venezuela y México (Rochat *et al.*, 1979; Keegan, 1980). El orden Escorpiones incluye nueve familias (Sissom, 1990), una de ellas, la familia Buthidae comprende 48 géneros y más de 500 especies y es la familia de alacranes más grande y amplia (Goyffon y Chippaux, 1990). Un número importante de las especies venenosas actualmente estudiadas, pertenecen a esta familia. El género *Centruroides* perteneciente a esta familia, agrupa a las especies venenosas de México y Estados Unidos. Dentro del género *Centruroides* se encuentra el alacrán *Centruroides noxius* Hoffmann originario de Nayarit, el cual es de particular interés por la alta toxicidad de su veneno, ya que es considerado como uno de los más venenosos del mundo (Dent *et al.*, 1980).

### 2. Importancia del Estudio del Veneno de Alacrán

Los primeros estudios acerca de los venenos de alacrán fueron motivados principalmente por la importancia médica de las picaduras de alacrán en varias regiones del mundo, como lo es el Este y Norte de África, el Medio Oriente, México y Brasil (Rochat *et al.*, 1979; Ménez *et al.*, 1992). Los alacranes de la familia Buthidae, hablando de géneros como: *Androctonus*, *Buthus*, *Centruroides*, *Leiurus* y *Tityus*, motivaron la investigación médica sobre la naturaleza y la composición del veneno, así como el desarrollo de antídotos (Possani, 1984). Considerando la cantidad limitada de veneno que un alacrán puede inyectar y el cuadro clínico que resulta de una picadura simple, es obvio que el veneno de alacrán podría contener componentes altamente activos, cuya purificación fuera deseable para determinar su estructura y elucidar su modo de acción (Rochat *et al.*, 1979). Los accidentes por picadura de alacrán constituyen un problema muy importante de salud principalmente para niños cuya edad se encuentra por debajo de los cinco años y gente de edad avanzada (Alagón *et al.*, 1989).

### 3. Extracción y Caracterización del Veneno

El veneno de alacrán es una mezcla compleja, obtenida en el laboratorio mediante la estimulación eléctrica del telson de los alacranes (Rochat *et al.*; 1979; Possani, 1984), por la maceración del telson, o permitiendo la picadura del alacrán a través de una película de parafina estirada sobre un matrás (Zlotkin and Shulov, 1969). La heterogeneidad del veneno de alacrán, ha sido bien demostrada por electroforesis sobre gel de almidón (Zlotkin *et al.*, 1971), tiras o láminas de cellogel (Ismail *et al.*., 1974), láminas de acetato de celulosa (Ghazal *et al.*., 1975), gel de poliacrilamida (Chhatwal and Habermann, 1981) y cromatografía en columna (Miranda *et al.*, 1962). En la revisión publicada por Possani en 1984, se describen la obtención y separación del veneno del alacrán de Nayarit, *C. noxius* Hoffman. El veneno es resuspendido en agua y centrifugado para remover residuos celulares y material mucoso. El veneno soluble es usualmente liofilizado y mantenido a -20°C. hasta ser usado. El veneno en solución se purifica por cromatografía en columna de exclusión molecular, obteniéndose tres fracciones, de las cuales las fracciones I y III no son tóxicas a ratones, a una concentración de 120 µg/20g de peso corporal, inyectado intraperitonealmente. La fracción I contiene actividad hialuronidásica. Cuando se sometió a análisis, la fracción III se separó en varios componentes positivos a ninhidrina. La fracción II constituye la mayor proporción del veneno recuperado y es letal a ratones. El término "letal" significa que el componente en la dosis inyectada (en general con cantidades de alrededor de 50 microgramos por ratón) fue suficiente para matar el ratón, en el período de veinte horas después de la inyección. Esta fracción es separada sobre columna de carboximetilcelulosa (CM-celulosa). Ya que las toxinas son polipéptidos básicos, una resina de intercambio catiónico, tal como CM-celulosa, es adecuada para el segundo paso de purificación. Usualmente, un tercer paso cromatográfico es necesario para obtener las toxinas en forma homogénea. Arbitriariamente, se han nombrado las toxinas de acuerdo a su patrón de elución durante la cromatografía (Possani, 1984). Por este procedimiento se han obtenido varias toxinas del veneno de *C. noxius* Hoffmann, entre ellas la toxina Cn 1 (II-14) (las dos letras corresponden al género y especie, el número 1 al orden de secuenciación de la toxina con respecto a las demás, II-14 corresponde al patrón de elución cromatográfico), esta es una toxina de cadena larga (64 aminoácidos), bloqueadora de canales de Na<sup>+</sup>, tóxica para insectos y crustáceos. La estrategia seguida para la determinación de las secuencias de aminoácidos de las toxinas de alacrán, es exactamente la misma que para cualquier otra proteína o polipéptido. El primer aspecto importante es el conocimiento de la composición

química de las toxinas, y de sus péptidos derivados, después de una digestión parcial con proteasas. Esta información da el número y tipo de aminoácidos que debe ser esperado durante la secuenciación. La gran mayoría de las toxinas, ha sido sujeta primero a la degradación automática de Edman.

#### 4. Las Toxinas del Veneno de Alacrán

Las toxinas del veneno de alacrán son proteínas de peso molecular bajo, compuestas de una cadena polipeptídica simple, estabilizadas por tres a cuatro puentes disulfuro (Rochat *et al.*, 1979; Debin *et al.*, 1993; Olamendi-Portugal *et al.*, 1996). La presencia de estos puentes disulfuro pudiera determinar la gran estabilidad de las toxinas de alacrán. El grado máximo de homología entre secuencias primarias es obtenido cuando los péptidos son alineados con respecto a la posición de sus residuos de cisteína (Rochat *et al.*, 1979).

##### 4.1. Clasificación

Los venenos de alacrán contienen una variedad de toxinas que actúan sobre canales de sodio o potasio, en una amplia variedad de formas y con especificidades marcadamente diferentes hacia presas diferentes, incluyendo mamíferos y artrópodos (Zlotkin *et al.*, 1978; Ménez *et al.*, 1992). Las toxinas de alacrán pueden ser divididas en dos categorías, con base en sus estructuras primarias conocidas. Estas son: toxinas de cadena larga y las toxinas de cadena corta (Possani, 1984).

Las toxinas de alacrán de cadena larga, contienen una cadena polipeptídica constituida por 60-70 aminoácidos, estructurada por cuatro puentes disulfuro (Kopeyan *et al.*, 1974). Estas tienen un peso molecular aproximado de 7000 daltones (Miranda *et al.*, 1970, Rochat *et al.*, 1979). Esencialmente alteran la conductancia axonal y pueden ser divididas en cuatro grupos principales. El primero, constituido por las alfa-toxinas, que afectan específicamente la conductancia axonal de mamíferos, prolongando los potenciales de acción, como resultado de una disminución o bloqueo de la inactivación del canal de sodio (Rochat *et al.*, 1979; Catterall, 1984., Kharraf *et al.*; 1989., Eitan *et al.*; 1990). El segundo grupo está formado por las toxinas-beta, que afectan la activación del canal de sodio en mamíferos. Las alfa y beta toxinas se unen a sitios distintos en el canal, pero sólo las alfa toxinas se unen de manera voltaje dependiente (Couraud *et al.*, 1982; Catterall, 1984) y muestran cooperatividad positiva con alcaloides solubles en lípidos, tales como la veratridina (Catterall, 1984). Las beta toxinas no

interactúan sinergísticamente con la veratridina (Couraud *et al.* .. 1982; Couraud and Jover, 1984). El tercer grupo de toxinas comprende las toxinas depresoras selectivas a insecto. Estas inducen una parálisis flácida progresiva, ya que bloquean los potenciales de acción, por depolarización de membranas axonales y supresión de corrientes de sodio (Zlotkin *et al.* .. 1985, Lester *et al.* .. 1982). El cuarto grupo está compuesto de las toxinas excitatorias selectivas a insecto, las cuales causan una parálisis espástica inmediata en insectos, provocando un disparo repetitivo en los nervios motores (Walther *et al.* .. 1976), debido a un incremento de la corriente máxima de sodio y una disminución voltaje-dependiente de la inactivación de la corriente de sodio (Pelhate and Zlotkin, 1981 y 1982). Las toxinas del cuarto grupo se unen a membranas neuronales de insecto, de una forma voltaje-independiente. Las toxinas de cadena corta de alacrán comprenden 35-40 residuos y tres a cuatro puentes disulfuro (Possani *et al.* 1982; Debin *et al.* 1993; Olamendi-Portugal *et al.* ; 1996) Semejante a las toxinas de cadena larga, ellas pueden ser clasificadas en toxinas selectivas de insecto o mamífero, y tienen como blanco canales de potasio (Dreyer, 1990). El modo de acción de las toxinas de alacrán ha sido extensamente estudiado, usando venenos crudos o toxinas purificadas (Rochat *et al.* .. 1979). Hasta el momento una colección grande de péptidos homólogos de alacranes ha sido identificada y se ha encontrado que algunos de estos bloquean dos clases de canales de K<sup>+</sup>: los disparados por voltaje (tipo Kv) y los canales de K<sup>+</sup> de alta conductancia activados por Ca<sup>2+</sup> (tipo BK). Estas toxinas inhiben en un rango de concentración de 1pM a 10nM y actúan sólo sobre canales de K<sup>+</sup>. Los venenos interrumpen la actividad neuronal mediante la producción de disparos repetitivos seguidos por depolarización de vida larga. Las toxinas contra canales de K<sup>+</sup> se unen bien a los estados abiertos y cerrados de los canales de K<sup>+</sup>. Estas toxinas podrían actuar como iniciadores de depolarización inmediata (Miller, 1995). La caribdotoxina y la noxiustoxina inhiben más de una clase de canal (varios canales de K<sup>+</sup> activados por Ca<sup>2+</sup> y canales de K<sup>+</sup> dependientes de voltaje, la iberiotoxina parece ser un bloqueador selectivo del canal de K<sup>+</sup> activado por Ca<sup>2+</sup> de alta conductancia que está presente en músculo y tejido neuroendocrino (García *et al.* , 1991). Es preciso mencionar que existen otras toxinas contra canales de Ca<sup>2+</sup>, como lo son los dos péptidos aislados del veneno del alacrán *Pandinus imperator*, una de ellas llamada imperatoxina inhibidora e imperatoxina activadora, donde respectivamente la primera y la segunda bloquean o activan los receptores de rianodina de músculo esquelético y cardíaco (Valdivia *et al.* . 1992). Se ha demostrado la existencia de toxinas bloqueadoras de canales de cloro de pequeña conductancia entre las que se puede mencionar a la clorotoxina, la cual es un componente del

veneno del alocrán *Lelurus quinquestriatus quinquestriatus* (Debin et al; 1993).

## A N T E C E D E N T E S

En el grupo del Dr. Possani se han caracterizado alrededor de nueve clones de DNAc que codifican para toxinas del veneno del alacrán *Centruroides noxius* Hoffmann (Becerril, 1993a; Tapia, 1994; Vázquez et al., 1995), éstas se han denominado CngtI-CngtIX (nomenclatura arbitraria en la que las dos primeras letras corresponden al género y especie, las letras g y t corresponden al vector en que el inserto del DNAc correspondiente a cada clona fue subclonado, en este caso lambda gt 11 y el número romano hace referencia al orden de obtención de la secuencia nucleotídica con respecto a las otras). El análisis comparativo de estas secuencias con las toxinas de alacrán reportadas reveló que los DNAsC de *C. noxius* Hoffmann codifican para una familia de toxinas de alacrán muy similares (Fig 1). Los resultados de la secuencia del DNAc de la clona CngtVI (Fig 2) indicaron que se trata de un inserto de 346 nucleótidos y que codifica para un polipéptido precursor de 87 aminoácidos con un péptido señal de 19 aminoácidos y una secuencia de poli A de 16 nucleótidos. El polipéptido maduro es de 68 aminoácidos, esta clona al ser comparada con las secuencias nucleotídicas de ADNc conocidos de *C. noxius* presentó la mayor homología con la clona CngtIV (Fig 1) la cual fué utilizada como sonda radioactiva para aislarla (Tapia, 1994; Vázquez et al., 1995). Al comparar la secuencia de aminoácidos inferida de la clona de ADNc CngtVI (Fig. 2), con las secuencias de aminoácidos de las toxinas del mismo alacrán ya conocidas (Fig. 1), se observó que esta secuencia corresponde con la toxina II-14 (*Cn* 1) (Fig. 3).  
Becerril et al (1993b) lograron caracterizar la región genómica que codifica para la toxina y del alacrán *Tityus serrulatus* la cual fue la primera secuencia genómica codificante para una toxina del veneno de alacrán, en ser aislada y caracterizada. Delabre et al (1995); aisieron el gene que codifica para la toxina AaH I' del alacrán *Androctonus australis* Héctor. También fueron aislados y secuenciados los genes que codifican para las toxinas  $\gamma$ -b y  $\gamma$ -st de los alacranes *Tityus bahiensis* y *Tityus stigmurus* respectivamente (Becerril et al., 1996). Se llevaron a cabo intentos de caracterización de genes del alacrán *Centruroides noxius* Hoffmann, pero hasta el momento de iniciar esta tesis no se habían obtenido resultados positivos.

**Fig. 1** Secuencia nucleotídica de las clonas de DNAc CngtI-CngtIX y sus secuencias de aminoácidos deducidas a partir de las mismas. La secuencia del péptido señal está subrayada. Los aminoácidos están en negritas en todas las clonas.

[ACCATCGAAG ATG AAT TCG TGTG TTG ATG ATC ACT GCT	37
1 M N S L I M I T A	9
1 TGT TTC GTC CTG ATC GGA ACA GTG TGG	64
2 C F V L I G T V W	18
GCA [AAG GAC GGT TAT CT(G GT(G GA)C GCA	91
2 A K D G Y L V D A	27
3 4	
AAG GGC TGC AAJA AJAG AAT TGC TAT AAA	118
K G C K K N C Y K	36
TTG GGA AAA AAC GAT TAT TGC AAT AGG	145
L G K N D Y C N R	45
GAA TGC AGA ATG AAA CAC CGA GGA GGT	172
E C R M K H R G G	54
AGT TAC GGC TAT TGC TAC GGA TTT GGG	199
S Y G Y C Y G F G	63
TGC TAT TGT GAA GGA TTG TCC GAT AGT	226
C Y C E G L S D S	72
ACA CCG ACT TGG C[CC CTT CCT AAT AAA	253
5	
T P T W P L P N K	81
ACA TGC]AGC GGA AAA TAA TGGCAACGACTT	283
T C S G K END	87
TTTATTGTCCACCAACAGAAATAGT[GTAACGCTTT	318
6	
TTAATTGCAAGT]AAAAAAAAAAAAAAA	346

Fig. 2 Secuencia nucleotídica del DNAc de la clona CngtVI correspondiente a la toxina II-14 (Cn1). La secuencia de aminoácidos subrayada corresponde a la secuencia del péptido señal. El polipéptido precursor inicia en el aminoácido número 1 y finaliza en el aminoácido número 87 (ambos en negritas). El polipéptido maduro inicia en el aminoácido 20 y finaliza en el 87. La cola de polIA está en negritas. Las regiones en corchetes corresponden a las secuencias seleccionadas para el diseño de oligonucleótidos. 1) 5' Gen (1-20), 2) N terminal (88-87), 3) Int Cn1 (82-102), 4) Int 2 Cn1 (85-104), 5) C2 tox (240-259), 6) C tox (309-330).

Toxina II-14 (Cn1)

1	5	10	15
Lis-Asp-Gli-Tir-Leu-Val-Asp-Ala-Lis-Gli-Cis-Lis-Lis-Asn-Cis			
K D G Y L V D A K G C K K N C			
16	20	25	30
Tir-Lis-Leu-Gli-Lis-Asn-Asp-Tir-Cis-Asn-Arg-Glu-Cis-Arg-Met			
Y K L G K N D Y C N R E C R M			
31	35	40	45
Lis-His-Arg-Gli-Gli-Ser-Tir-Gli-Tir-Cis-Tir-Gli-Fen-Gli-Cis			
K H R G G S Y G Y C Y G F G C			
46	50	55	60
Tir-Cis-Glu-Gli-Leu-Ser-Asp-Ser-Tre-Pro-Tre-Trp-Pro-Leu-Pro			
Y C E G L S D S T P T W P L P			
61	65		
Asn-Lis-Tre-Cis-Ser amida			
N K T C S			

Fig. 3. Secuencia primaria de la toxina Cn 1 (II-14) (Possani et al., 1981; Possani, 1984; Vázquez et al., 1996)

## O B J E T I V O

Aislar y determinar la secuencia nucleotídica de la región genómica que codifica para la toxina Cn 1 (II-14) del veneno del alacrán *Centruroides noxius* Hoffmann.

## M E T O D O L O G I A

### 1. Extracción del DNA del alacrán *Centruroides noxius* Hoffmann.

Esta se llevó a cabo mediante el maceramiento de los organismos completos a temperatura de congelamiento. Se utilizaron 5 grs. de estos organismos por cada proceso de preparación. El pulverizado se repartió en dos tubos (partes iguales) y se le agregó a cada tubo 25ml de la solución de extracción de DNA genómico (0.1M EDTA (Etilendinitrilotetacacato de sodio), 0.05M Tris (Trihidroximetilaminometano) pH 8.0, 0.5 % SDS (Dodecilsulfato de sodio) y 100 microgramos/ml. de proteinasa K). Se mantuvieron los tubos a 55°C durante cuatro horas. Para llevar a cabo la eliminación de desechos celulares inicialmente se centrifugó a una temperatura de 40°C a 10,000 revoluciones por minuto (r.p.m.) durante 20'. El sobrenadante fué tratado mediante extracciones con fenol, fenol-cloroformo-alcohol isomálico y cloroformo respectivamente. El sobrenadante fué puesto a dializar en cuatro litros de TE (Tris 10mM y EDTA 1mM) durante toda la noche; como el volumen resultante fue grande éste fue concentrado con butanol. Posteriormente se precipitó con acetato de sodio 3M a pH 4.8 y etanol absoluto, y se resuspendió en 1ml de agua tetraestilada.

### 2. Purificación del DNA de *C. noxius* Hoffmann.

Fué necesaria la eliminación de un pigmento de color rojizo que se encuentra unido al DNA de este alacrán, el cual se especula que pudiera tener una naturaleza de polisacárido con cargas positivas, por lo que se hizo necesario un paso de cromatografía de filtración molecular, para que sometido a alta fuerza iónica, el pigmento fuera separado. Se utilizó una columna de Bio-Gel A-50M malla 100-200 (Bio Rad, Richmond California.) y el buffer Tris 10mM pH 8, EDTA 1mM, NaCl 0.5M. La columna se cargó con un volumen de 500 microlitros del resuspendido del DNA genómico. El DNA apareció en las fracciones 8-12, éste fué precipitado y resuspendido en agua tetraestilada. Considerando la exigencia en las condiciones de pureza del DNA genómico, fueron necesarios otros pasos posteriores de purificación

después del procedimiento cromatográfico, como fueron: Centricon (centricon concentrators Amicon, Beverly USA), Glass Max (Glass Max DNA Isolation Spin Cartridge System, GIBCOBRL, USA) ó extracciones fenol-cloroformo. El DNA genómico se cuantificó por lectura en el espectrofotómetro a 260 y 280nm. Como el pico máximo de absorbancia de los ácidos nucleicos es a 260nm, y para la mayoría de las proteínas es a 280nm, la relación de las lecturas de una muestra de ADN a estas longitudes de onda nos indica la proporción en que una muestra de ADN está asociada con proteínas (Sambrook *et al.*, 1989). La concentración del DNA se verificó por medio de electroforesis en geles de agarosa al 0.7%, donde también pudimos estimar la calidad del DNA.

### 3. Diseño de oligonucleótidos específicos

El diseño de los oligonucleótidos se llevó a cabo con base en la secuencia del DNAc CngtVI que codifica para la toxina Cn 1 (II-14). Esta clona de ADNc fue obtenida en mi trabajo de tesis de licenciatura (Tapia, 1994; Vázquez *et al.*, 1995). La secuencia de esta clona se muestra en la Fig. 2.

Se eligió específicamente esta clona de ADNc por ser la única en comparación con las ya secuenciadas, que presenta el mayor número de nucleótidos hacia el extremo 5', característica aprovechable para el diseño de un oligonucleótido que permitiera una amplificación específica, si se considera la posible localización de un intrón en esta región (ver antecedentes), (Becerril *et al.*, 1993b; Delabre *et al.*, 1995; Becerril *et al.*, 1996). Los oligonucleótidos además de ser utilizados para la amplificación del DNA genómico por PCR, se utilizaron como sonda para la hibridización de los productos del mismo. Las secuencias de los oligonucleótidos utilizados en el presente trabajo se pueden observar indicadas en la fig. 2. A continuación se listan los oligonucleótidos, en donde se señala el número de nucleótidos y la temperatura de fusión (Tm) para cada uno de ellos:

$$Tm = 59.9 + 0.41(\%GC) - 500 \# \text{ bases}$$

Oligonucleótido	Tm (°C)	Tamaño (nucleótidos)	Posición	Orientación
Ctox Cn1	50.22	22	247	5'-3' de la cadena complementaria
Int.Cn1	57.45	20	15	5'-3' de la cadena codificante
S' Gen	51.3	20	-54	5'-3' de la cadena codificante
N Terminal	57.57	21	1	5'-3' de la cadena complementaria
Int2Cn1	61.47	21	19	5'-3' de la cadena complementaria.

#### **4. Reacción en Cadena de la Polimerasa (PCR)**

Esta se llevó a cabo mediante la utilización de oligonucleótidos específicos cuya secuencia como ya se mencionó corresponde a la de regiones específicas de la clona de ADNc CngtVI (Fig 2).

#### **5. Transferencia por el Método de Southern (Sambrook *et al.*, 1989) de los productos de amplificación por PCR.**

**6. Ensayos de hibridización de los productos de amplificación que fueron transferidos.** Se utilizó como sonda radioactiva la clona de ADNc CngtVI o bien, alguno de los oligonucleótidos específicos correspondientes a la secuencia de la misma clona.

#### **7. Subclonación**

Para llevar a cabo la subclonación se llevó a cabo la purificación de la banda específica, que hibridizó con la clona de ADNc y con los oligonucleótidos específicos y la reacción de ligación del inserto con el vector pUCBM20 el cual deriva de los plásmidos pUC18/19, y consta de 2722 pares de bases que incluye un sitio de clonación múltiple. Los productos de la PCR se subclonaron en el sitio de EcoRV. Para la transformación en células competentes se utilizó la cepa DH5 $\alpha$  las cuales se prepararon según Hiroaki and Hiroshi, 1990. Las clones recombinantes se seleccionaron a través de los métodos de  $\alpha$ -complementación, análisis de restricción del DNA plasmídico (Sambrook *et al.*, 1989), PCR en colonia, hibridización en colonia e hibridización en punto.

#### **8. Secuencia Nucleotídica**

Se llevó a cabo la secuencia en doble cadena, utilizando el estuche de Sequenase (United States Biochemical, Cleveland, Ohio, U.S. and Canadá).

#### **9. Análisis e Interpretación de la Secuencia.**

Esto se hizo a través del estudio de la secuencia nucleotídica de las cionas secuenciadas, así como la comparación de éstas con la secuencia de las cionas de DNAc que codifican para las toxinas de *C. noxius* Hoffmann que ya se habían reportado, esto con el propósito de definir el aislamiento de las cionas genómicas que codificaran para toxinas del veneno de *C. noxius* Hoffmann

## RESULTADOS Y DISCUSION

### REACCION EN CADENA DE LA POLIMERASA (PCR)

Para llevar a cabo los experimentos de la reacción en cadena de la polimerasa del DNA genómico de *Centruroides noxius* Hoffmann se utilizaron los oligonucleótidos cuyas secuencias corresponden a la clona CngtVI y se señalan en la Fig. 2.

Para cada una de las reacciones de PCR se emplearon 5 µg de DNA genómico. Cuando se utilizó una temperatura de alineamiento de 48°C y 25 ciclos, los oligonucleótidos 5' Gen y Ctox (estos se usaron debido a la posición de los mismos, en los extremos 5' y 3' de la clona de DNAc), se obtuvo una banda de 800 pares de bases, la cual hibridó con la clona de DNAc CngtVI y el oligonucleótido Int Cn1 marcados radioactivamente (Fig. 4).

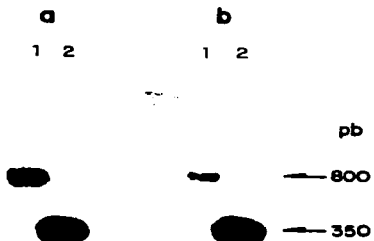


Fig 4. Autorradiografía en donde se muestra la hibridización del producto de PCR (oligos 5' Gen y Ctox) con un tamaño de 800 pares de bases. a) Hibridización con la clona de cDNA Cngt VI. En el primer carril se observa la banda de 800 pares de bases, en el segundo carril el control positivo, el cual corresponde al producto de PCR de la clona Cngt VI. b) Hibridización con el oligonucleótido Int Cn1. En el primer carril encontramos la banda de 800 pares, en el segundo carril el control positivo, el producto de PCR de la clona Cngt VI.

Después de estos resultados se llevaron a cabo otros intentos de PCR, sólo que variando las condiciones, como: la concentración de los oligonucleótidos utilizados y las condiciones de los programas de amplificación.

En estos experimentos de amplificación se utilizaron como primeros o iniciadores los oligonucleótidos 5'Gen y Ctox, se empleó una temperatura de alineamiento de 50°C y 30 ciclos y se obtuvo una banda de un tamaño de 350 p.b. aproximado al de la clona de cDNA CngtVI (Fig 5), pero ésta no hibridizó con la clona de DNAc CngtVI marcada radioactivamente.

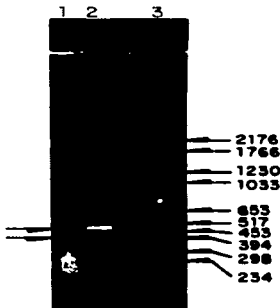


Fig. 5. Producto de amplificación por PCR con un tamaño aproximado al de la clona de DNAc (CngtVI). Electroforésis en gel de agarosa al 1%. En el carril 1 se observa el producto de PCR de la clona Cngt VI, en el carril 2 se observa el producto de PCR con los oligonucleótidos 5'Gen y Ctox; el carril 3 muestra el marcador VI de peso molecular de Boheringer.

Se incrementó el número de ciclos a 30 y con la misma temperatura de alineamiento de 52°C se obtuvo una banda de alrededor 1100 pares de bases, la cual mostró una señal de hibridización con la clona de DNAc CngtVI y el oligonucleótido específico IntCn1 (Fig. 6) ambos marcados radioactivamente.

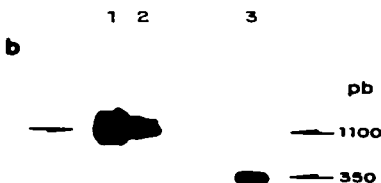
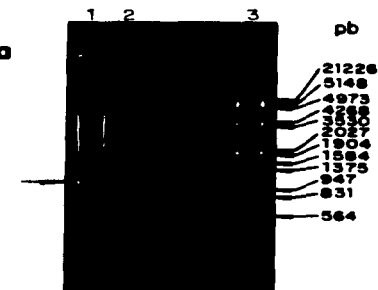


Fig 6. Producto de amplificación del DNA genómico con los oligonucleótidos 5' Gen y Clox, con un tamaño de alrededor de 1100 pares de bases. a) Electroforesis en gel de agarosa 1%. En los carriles 1 y 2 se observa el producto de amplificación el cual presenta un tamaño de 1100 pares de bases; en el carril 3 el Marcador de Peso Molecular λ-Hind III-EcoRI. b) Autorradiografía del producto de amplificación de 1100 pares de bases. En los carriles 1 y 2 se observan los dos productos de amplificación de 1100 pares de bases, en el carril 3 el control positivo, que corresponde al producto de PCR de la clona CngtVI.

Se llevó a cabo la purificación de este producto de amplificación, así como la subclonación. Se seleccionaron las clonas recombinantes y se procedió con la secuenciación. La secuencia de este inserto de alrededor de 1100 pares de bases (Fig. 7) mostró casi un cien por ciento de homología con la región del péptido señal de la clona de DNAc CngtVI (Fig. 2); y se observó una interrupción en el aminoacido 15 del péptido señal, donde considerando la secuencia inmediata y que fué comparada con los extremos que definen los intrones para algunos aracnidos (Becerril *et al.* 1993b) (Tabla 1) puede tratarse de un intrón.

Fig. 7. Secuencia nucleotídica de la clona de alrededor de 1100 pares de bases. El primero y segundo exones se encuentran en letras mayúsculas. La región subrayada en letras mayúsculas corresponde a la región que codifica para el péptido señal. Con letras minúsculas encontramos la región del intrón. Las secuencias que se observan en letras minúsculas y subrayadas, así como señaladas con los números en negritas corresponden a los oligonucleótidos que se diseñaron para avanzar en esta secuencia. 1) oligonucleótido sec1 cn1; 2) oligonucleótido sec2 cn1; y 3) oligonucleótido sec3 cn1.

Tabla 1. Comparación de bordes intrónicos de diferentes genes de arácnidos (ver referencias en el pie de la tabla)

secuencia de bordes intrónicos					
Intrón	Extremo 5'.....tamaño del intrón.....		Extremo 3'		
1	gtaagtctca.....	6.1 kpb	.....	tttttttttag	
2	gtaagtacat.....	8.6 kpb	.....	tttttttatag	
3	gtaagtccas.....	6.3 kpb	.....	gtaactctag	
4	gtaagtatgt.....	2.1 kpb	.....	tatttttttag	
5	gtaagtatgc.....	5.0 kpb	.....	tcatcccgag	
6	gtatttctgc.....	6.9 kpb	.....	catttttacag	
7	gtatgttaag.....	14.3 kpb	.....	tttatttttag	
8	gtaagtgcta.....	2.7 kpb	.....	cttcttttcag	
9	gtggatgtat.....	963 pb	.....	tttggttcag	
10	gtgaggatata.....	1,019 pb	.....	tttgttgcag	
11	gtaagatata.....	425 pb	.....	ctgactacag	
12	gtaagctgaa.....	475 pb	.....	gtaaacatag	
13	gttaggtccc.....	474 pb	.....	gtaaacatag	
14	gttaggtccc.....	465 pb	.....	ataaacatag	
15	gtaagatattt.....	347 pb	.....	taaattttag	
16	gttaggtccc.....	58 pb	.....	taataatcag	
17	gtaagggtta.....	60 pb	.....	aaattgttag	
18	gtatgtttt.....	60 pb	.....	tttatttttag	
19	gtaagggtta.....	65 pb	.....	aaatgttag	
20	gtacaatatg.....	60 pb	.....	catttttttag	
21	gtaagggtta.....	65 pb	.....	aaattttag	
22	gtaagggttc.....	61 pb	.....	attttttttag	
Consenso	gtaagtaaaa			aaatttttttag	

Tabla 1. Comparación de bordes intrónicos de diferentes genes de arácnidos. Comparación de bordes 5' y 3'de intrones de diferentes genes de arácnidos. Solamente los primeros 10 y los últimos 10 nucleótidos de los intrones se muestran. Consensos propuestos para bordes de intrón 5' y 3'se muestran en la parte inferior de esta tabla (n significa cualquier nucleotido). Los intrones 1-8 corresponden al gen que codifica la subunidad e de hemocianina de la tarántula *Eupalima californicum* (Voll *et al.*, 1990). Los intrones 12, 13 y 14 corresponden a los genes que codifica la toxina gamma de los alacranes sudamericanos *Tityus serrulatus*, *T. stigmurus* and *T. bahiensis* respectivamente (Becerril *et al.*, 1993b; Becerril *et al.*, 1996). El intrón 15 corresponde al gen que codifica para la toxina IV-5 de *Tityus serrulatus* (Corona *et al.*, 1996). Los intrones 16-22 corresponden a los genes que codifican cisteína proteasas de los escorpios *Dermatophagoides farinae* (intrones 16-18), *Euroglyphus maynei* (intrones 19-20) y *Dermatophagoides pteronyssinus* (intrones 21-22) (Keni *et al.*). Los intrones 9 y 10 Cn1, este estudio. El intrón 11 corresponde al de la toxina AsHi<sup>+</sup> del alacar *Androctonus australis* Héctor (Delabre *et al.*, 1995).

Sin embargo se terminó con la secuencia de la clona, donde para llevarla a cabo, hubo que diseñar tres oligonucleótidos a partir de las secuencias más distales de las que se fueron obteniendo y ésto nos permitió avanzar con la secuencia. El análisis de esta secuencia reveló 1122 nucleótidos totales, en donde 1019 nucleótidos corresponden al intrón, se observa parte de la región genómica que codifica para la región del amino terminal de la toxina y se trunca en el codón que estaría codificando para la tercera lisina del polipéptido maduro en esta región. Esta amplificación se llevó a cabo debido a una probable contaminación del oligonucleótido Ctox con el oligonucleótido Int2Cn1 (ver la localización de los oligonucleótidos en la Fig. 2), y esto porque el segundo oligonucleótido se había estado utilizando con el objeto de amplificar en la región hacia el extremo 5' cercana al péptido señal, esto si se consideran los antecedentes del presente proyecto (Becerril *et al.*; 1993b; Becerril *et al.*; 1996; Corona *et al.*; 1996; Delabre *et al.*; 1995). Al efectuar la comparación de esta secuencia se propone que codifica para una toxina muy semejante a la II-14 (Cn 1), ya que existe la diferencia de que en el polipéptido maduro y en la clona de cDNA que codifica para esta toxina CngtVI, el segundo aminoácido es aspártico y en la región genómica esta posición la ocupa un glutámico.

Considerando estos resultados, hubo que volver a iniciar con la búsqueda de un inserto nuevo; entonces, utilizando 10 microgramos de DNA genómico, 60 pmoles de cada uno de los oligonucleótidos utilizados como primeros o iniciadores para la amplificación 5' Gen y Ctox, se utilizó una temperatura de alineamiento de 57°C y 30 ciclos, y se obtuvo un producto de amplificación de alrededor de 1300 pares de bases., este hibridizó con la clona de DNAc marcada radioactivamente y con un oligonucleótido específico de la región amino terminal llamado N-terminal de la clona CngtVI (Fig. 8).

Se llevó a cabo la subclonación y la secuenciación del inserto, para lo cual se utilizaron los tres oligonucleótidos que correspondieron a la clona de 1100 pares de bases, estas secuencias se localizaron dentro del intrón de la clona de 1100 pares de bases, lo cual puso en evidencia la homología entre esta clona de alrededor de 1300 pares de bases (ver fig. 9) y la clona de 1100 pares de bases que ya había sido secuenciada (Fig. 7).

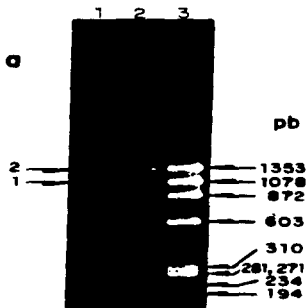


Fig. 8. Producto de amplificación por PCR, con los oligonucleótidos 5' Gen y Ctox, con un tamaño de aproximadamente 1300 pares de bases. a) Electroforesis en Gel de Agarosa 1%. En los carriles 1 y 2 se puede observar de acuerdo al orden de migración en el gel, la banda 1 de 1100 pares de bases y la banda 2 de 1300 pares de bases. El carril 3 corresponde al Marcador  $\lambda$ x174/Hae III.b) Hibridización en Punto de las bandas 1) de 1100 pares de bases y 2) de 1300 pares de bases. Esta hibridización se llevó a cabo con el oligonucleótido N terminal ver la secuencia del oligonucleótido en la fig. 2.

Fig. 9. Secuencia nucleotídica de la clona de 1300 pares de bases. Las secuencias en letras mayúsculas corresponden a los exones 1) y 2). La región subrayada en mayúsculas corresponde al péptido señal. La secuencia en letras minúsculas corresponde al intrón. Las secuencias subrayadas en letras minúsculas corresponden a los oligonucleótidos 1) sec1 cn1, 2) sec2 cn1, 3) sec3 cn1.

Este inserto de tamaño mayor, después de ser secuenciado, mostró tener 1292 pares de bases, con un intrón de 963 pares de bases que interrumpe la región del péptido señal en el aminoácido 15 de la misma manera que en la clona de 1100 pares de bases. Es preciso mencionar que hasta el momento se trata de la secuencia intrónica de mayor

tamaño, junto con el intrón de la clona de 1122 pares de bases, que han sido encontradas en genes que codifican para una toxina del veneno de alacrán. De la secuencia genómica pudo derivarse la secuencia de aminoácidos de la proteína para la que ésta codifica. Se llevó a cabo la comparación de esta secuencia de aminoácidos con las secuencias de aminoácidos de las toxinas de *C. noxius* Hoffmann ya caracterizadas, y se observó que comparte el mayor porcentaje de homología con la toxina Cn 1 (II-14), a excepción de algunas diferencias encontradas en la región del péptido señal ver Fig. 9, donde el aminoácido once que es leucina es codificado por un codón cuya tercera base cambia de citosina a guanina, esto no origina el cambio de aminoácido, considerando la degeneración del código genético; pero en el aminoácido trece si existe un cambio de leucina a valina. Sin embargo también se encontró una diferencia en la región estructural, la cual es aún de mayor importancia. Esta se localiza en el segundo aminoácido del polipéptido maduro, donde en la secuencia primaria de aminoácidos de la toxina Cn 1 (II-14) y en la secuencia que corresponde a la clona de DNAc CngtVI que codifica para esta toxina, aparece como ácido aspártico, y en la secuencia genómica esta misma posición es ocupada por ácido glutámico, lo cual nos induce a pensar que se trata de la región genómica que estaría codificando para una variante de la toxina Cn 1 (II-14). Por todo lo anterior es preciso mencionar que la región genómica codificante para la variante de la toxina Cn 1 (II-14) presenta dos exones, donde el primero ocupa la posición 1-43, y el segundo la posición 1017-1292; y un intrón de 963 pares de bases. En el laboratorio se han obtenido algunos polipéptidos que se encuentran juntos con la fracción que contiene a la toxina II-14 (Cn1), estos son péptidos minoritarios, los cuales pudieran ser variantes de esta toxina, hasta ahora se ha llevado a cabo la secuenciación de algunos de estos, pero considerando que esta secuencia corresponde sólo a algunos residuos de las mismas, no es posible poder definir hasta el momento si las clonas genómicas de alrededor de 1100 pares de bases y la de 1300 pares de bases codifican para estos péptidos; para ello todavía es necesario un estudio exhaustivo de la secuencia de los mismos.





1300	1220	1230	1240	1250	1260	1270
CngtVI	AAAACATGCCAGGGAAATAATGCGAATGACTTTTATTGTCCACCAACAGAAATAGTGT					
	K T C S G K END					
	AAAACATGCCAGGGAAATAATGCGAACGACTTTTATTGTCCACCAACAGAAATAGTGT					
	K T C S G K END					
1300	1280	1290				
CngtVI	AACCCCTTTTAATTGCAAGT					
	AAAAAAAAAAAAA					

**FIG. 10.** Alineamiento de secuencia nucleotídica de las cionas de 1100 pares de bases, 1300 pares de bases y CngtVI. El alineamiento entre las cionas de 1100 y 1300 pares de bases, se llevó a cabo con el programa Fasta localizado en el paquete de software (Genetics Computer Group, GCG) de la universidad de Wisconsin (Madison, WI.U.S.A) de análisis de secuencias. Es observable como el programa alinea en la primera parte de los intrones las regiones de mayor homología, y también se muestra la diferencia de tamaño entre los intrones. La primera parte de las secuencias nucleotídicas que codifican para el segundo exón en las tres cionas, se encuentran señaladas con un punto en negrillas a la derecha del renglón donde se localizan, permitiendo evidenciar la homología de las mismas. Los sitios donador y aceptor de los intrones propuestos por los programas de análisis de secuencia de DNA para la ciona de 1300 pares de bases, se encuentran subrayados. Los sitios de poliadenilación se señalan con asteriscos y con el número 1 y 2 en negrillas.

Se utilizó el programa BCM Gene Finder para análisis de secuencias nucleotídicas de DNA, éste contiene los programas Search for Potential Splice Sites (HSPL) y Recognition of 3'-end Cleavage and Polyadenylation Region (POLYAH) los cuales fueron empleados y nos permitieron obtener información complementaria de la ciona de 1300 pares de bases, la cual se menciona a continuación:

1.- La presencia de dos posibles intrones de la secuencia de 1300 pares de bases, en donde se definen dos sitios donadores y dos sitios aceptores (ver Fig. 10). Estos permitirían especular acerca de un probable procesamiento diferencial o "splicing" diferencial de la región genómica, aunque no se han aislado hasta el momento toxinas que apoyen el hecho de "splicing" (empalme) diferencial. Pero cabe mencionar que uno de los dos intrones que muestra este análisis de la secuencia, parece funcionar como tal.

#### 2.- Inexistencia de secuencias repetidas.

Este análisis reveló que en la secuencia nucleotídica no existen secuencias repetidas.

#### 3.- La presencia de dos sitios posibles de poliadenilación (ver Fig. 10).

Además se empleó el programa Fasta para efectuar la comparación

entre las cionas de 1100 pares de bases y 1300 pares de bases, y esto dió como resultado la identidad entre ambas de un 75.5% en 642 bases sobrelapantes, localizadas fundamentalmente en la primera parte de las secuencias, que formarían parte de lo que corresponde a las regiones del péptido señal y la primera parte del intrón (ver Fig. 10). Esto nos induce a pensar en la existencia de una serie de familias de genes que están codificando para variantes de toxinas, las cuales como se ha observado presentan un alto porcentaje de homología. Cabe mencionar que a diferencia de lo sucedido en los genes que codifican para las toxinas bloqueadoras de canales de  $\text{Na}^+$  del género *Tityus*, tales como la  $\gamma$  de *T. serrulatus*, la  $\gamma$ -st de *T. stigmurus* y la  $\gamma$ -b de *T. bahiensis* en donde el primer exón es 100% idéntico (Becerril *et al.*; 1996), en las cionas de 1300 pares de bases y la de 1100 pares de bases, no ocurre lo mismo como anteriormente ya se había analizado; aunque para ello habría que pensar que la ciona de 1100 pares de bases es un gene truncado. Sin embargo los límites de secuencia nucleótídica del extremo 5' de ambos intrones son prácticamente iguales si se consideran las diez primeras bases; esto es a excepción de la base 9, donde en la ciona de 1300 pares de bases hay un nucleótido adenina y en la de 1100 pares de bases el nucleótido es guanina. Al comparar la secuencia conocida que codifica para la primera parte de la región amino terminal de la toxina, en la ciona de 1100 pares de bases con la ciona de 1300 pares de bases, se observa que es idéntica, aunque presentan diferencias en el primer exón, pero solo en la región codificante para el péptido señal, los intrones de ambas cionas también presentan diferencias, tanto en tamaño como en secuencia, por todo esto no es posible definir aún si la región codificante para el polipéptido maduro es la misma o bien difiere y codifica para toxinas distintas; para ello es indispensable la obtención de la secuencia completa de esta ciona de alrededor de 1100 pares de bases.

## CONCLUSIONES

- . A partir de la reacción en cadena de la polimerasa (PCR) fue posible aislar y determinar la secuencia nucleotídica de la región genómica que codifica para una variante de la toxina Cn 1 (II-14). Esta es la primera unidad génica transcripcional que codifica para una toxina de un aícrán mexicano, caracterizada hasta el momento, en este caso de *Centruroides noxius* Hoffmann, y es la clona completa que contiene el intrón de tamaño mayor.
- . La unidad génica transcripcional codificante para esta variante de la toxina Cn 1 (II-14), está compuesta por dos exones y un intrón, sujetándose al modelo de organización propuesto (Corona *et al.*, 1996) para los genes que codifican para toxinas del veneno de otras especies de aícrán que hasta el momento ya han sido aislados y caracterizados (Becerril *et al.*, 1993; Delabre *et al.*, 1995; Becerril *et al.*, 1996; Corona *et al.*, 1996).
- . Considerando los datos obtenidos de los programas de análisis de secuencia de DNA, podría proponerse un procesamiento diferencial para estos genes, ya que al observar las secuencias límite 5' y 3' de los intrones que se indican, uno de ellos es aparentemente funcional, y el otro aunque no se ha demostrado su funcionalidad, podría especularse su uso potencial, o bien que en algún momento del proceso evolutivo de la especie, este cumplió una función como tal.
- . Es preciso definir la existencia de familias de genes que codifican para una serie de variantes de toxinas del veneno de aícrán, esto a partir de los resultados de la comparación de secuencia efectuada entre la clona de 1100 pares de bases y la clona de 1300 pares de bases.

## PERSPECTIVAS FUTURAS

Los resultados obtenidos en el presente trabajo dan la pauta para proseguir con investigaciones futuras que permitirán el avance en el conocimiento acerca de la regulación y expresión de los genes que codifican para las toxinas del veneno de alacrán en ésta y otras especies, para ello de manera inmediata se propone:

- . La demostración con resultados concluyentes de la existencia de familias que codifican para una serie de variantes de toxinas del veneno de alacrán, esto, através del aislamiento y caracterización de la clona completa de 1100 pares de bases.
- . El mapeo de la región promotora del gene que codifica para la variante de la toxina Cn 1 (II-14).
- . Llevar a cabo amplificaciones con oligonucleótidos específicos de las regiones variables.
- . La definición de un arreglo posible de los genes en tandem.
- . La búsqueda de otros genes que codifiquen para toxinas de la misma especie, con especificidad diferente, utilizando la secuencia aislada y caracterizada en este trabajo, con el propósito de la comparación y análisis de las mismas, utilizando para ello como patrón de comparación el resultado del análisis en secuencias genómicas como las correspondientes a las especies del género *Tityus* (Becerril *et al.* 1996).

## REFERENCIAS

- . Alegón, A., Dehesa, M. and Possani, L. 1989. Monograph Scorpions from the Genus *Centruroides*, O.M.S., Ginebra, Suiza. 1-20.
- . Becerril, B., Vázquez, A., García, C., Corona, M., Bolívar, F. and Louival D. Possani. 1993a. Cloning and characterization of cDNAs that code for Na<sup>+</sup>-channel-blocking toxins of the scorpion *Centruroides noxius Hoffmann*. Gene. 128, 165-171.
- . Becerril, B., Corona, M., Mejía, M., Martín, B., Lucas, S., Bolívar, F. and Louival D. Possani. 1993b. The genomic region encoding toxin gamma from the scorpion *Tityus serrulatus* contains an intron. Febs Letters. 335, 1, 6-8 (b).
- . Becerril, B., Corona, M., Coronas, F., Zamudio, F., Calderón, E., Fletcher, P., Martín, B., and Louival D. Possani. 1996. Toxic peptides and genes encoding toxin  $\gamma$  of the Brazilian scorpions *Tityus bahiensis* and *Tityus stigmurus*. Biochem. J. 313, 753-760.
- . Catterall, W.A. 1984. The molecular basis of neuronal excitability. Science. 223, 653-61.
- . Corona, M; Zurita, M; Possani, L and B. Becerril (1996) Cloning and Characterization of The Genomic Region Encoding Toxin IV-5 From The Scorpion *Tityus serrulatus* Lutz and Mello. Toxicon.34,2. 251-256.
- . Couraud, F., Jover, E., Dubois, J.M. and H. Rochat. 1982. Two types of scorpion toxin receptor sites, one related to the activation, the other to the inactivation of the action potential sodium channel. Toxicon 20, 9-18.
- . Couraud , F., E. Jover. 1984. Mechanism of Action of Scorpion Toxins. Handbook of Natural Toxins, Marcel Dekker, New York. 2, 659-671.
- . Chhatwal, G.S. and E. Habermann. 1981. Neurotoxins, protease inhibitors and histamine releasers in the venom of the Indian red scorpion (*Buthus tamulus* ). Isolation and partial characterization. Toxicon. 19, 807-823.
- . Debin, J., Maggio, J., and Strichartz, G. 1993. Purification and characterization of chlorotoxin, a chloride channel ligand from the venom of the scorpion. Am. J. Physiol. 264, C361-C369.

- . Delabre, M., Pasero, P., Marillay, M., and P.E. Bougis. 1995. Promoter Structure and Intron-Exon Organization of a Scorpion  $\alpha$ -Toxin Gene . Biochemistry. 34. 6729-6736.
- . Dent, M., Possani, L.D., Ramírez, G.A. and P.Fletcher Jr. 1980. Purification and Characterization of Two Mammalian Toxins from The Venom of The Mexican Scorpion *Centruroides noxius* Hoffmann. Toxicon. 18, 343-350.
- . Dreyer, F. 1990. Peptide toxins and potassium channels. Reviews of Physiology, Biochemistry and Pharmacology 115, 93-136.
- . Eitan, M., Fowler, E., Herrmann, R., Duval, A., Pelhate, M and E.A., Zlotkin. 1990. Scorpion Venom Neurotoxin Paralytic to Insects That Affects Sodium Current Inactivation: Purification, primary Structure, and Mode of Action. Biochemistry. 29, 5941-5947.
- . García, M., Galvez, A., García, M., Frank, V., Vázquez, J., and Kaczorowski, J .1991. Use of Toxins to Study Potassium Channels. Journal of Bioenergetics and Biomembranes. 23.4. 615-646.
- . Ghazal, A., Ismail, M., Abdel-Rahman, A.A. and M.F. El-Asmar. 1975. Pharmacological studies of scorpion (*Androctonus amoreuxi* Aud And Sav) venom. Toxicon. 13, 253-259.
- . Goyffon, M et Chippaux, J.P. 1990. Animaux venimeux terrestres, Editions techniques, Encycl. Méd. Chir. Paris France. Intoxication, pathologie du travail 16078 A10 14-1990, 14p.
- . Kent, N., Hill, M.R., Holland, P.W. and Hart, B.J. Dept. Biochem. Univ. Oxford, South Parks Road, Oxford OX1 3QU, UK.
- . Kharrat, R., Darbon, H., Rochat, H. and Granier, C. 1989. Structure activity relationships of scorpion alfa-toxins. Multiple residues contribute to the interaction with receptors. European Journal of Biochemistry 181, 381-90.
- . Keegan, H.L. 1980. Scorpions of medical importance. Jackson, USA, University Press of Mississippi. 140pp.
- . Kopeyan, C., Martínez, G., Lissitzky, S., Miranda, F. and H. Rochat. 1974. Disulfide bonds of toxin II of the scorpion *Androctonus australis* Hector. European Journal of Biochemistry. 47, 483-9.

- . Lester, D., Lazarovici, P., Pelhate, M. and E. Zlotkin. 1982. Purification, Characterization and Action of Two Insect Toxins From the Venom of The Scorpion *Buthotus judaicus*. *Biochim. Biophys. Acta* 701, 370-381.
- . Liang, P and Pardesi, A (1992) Differential Display of Eukaryotic Messenger RNA by Means of the Polymerase Chain Reaction. *Science*. 257, 967-970.
- . Liang, P, Averboukh, L and A.B. Pardesi (1993) Distribution and cloning of eucaryotic mRNAs by means of differential display: refinements and optimization. *Nucleic Acids Research*. 21: 14. 3269-3275.
- . Ménez, A., Bontemps, F., Roumetstand, Ch., Gliquin, B. and F. Toma. 1992. Structural basis for functional diversity of animal toxins. *Proceedings of the Royal Society of Edinburgh*. 99, 83-103.
- . Miller, Ch. 1995. The Charybdotoxin Family of K<sup>+</sup> Channel-Blocking Peptides. *Neuron*. 15, 5-10.
- . Miranda, F., Rochat, H., S. Lissitzky. 1962. Propriétés échangeuses dions du gel de dextrane (Sephadex). Application à la mise au point d'une technique de rétention réversible des protéines basiques de faible poids moléculaire. *J. Chromatogr.*, 7, 142-154.
- . Miranda, F., Kopeyan, C., Rochat, H., Rochat, C., and S. Lissitzky. 1970. Purification of animal neurotoxins. Isolation and characterization of eleven neurotoxins from the venoms of the scorpions *Androctonus australis* Hector, *Buthus occitanus tunetanus* and *Leiurus quinquestratus quinquestratus*. *Eur. J. Biochem.* 16, 514-523.
- . Olamendi-Portugal, T; Gómez-Lagunas, F; Gurrola, G.B; and Possani, L. 1996. A novel structural class of K<sup>+</sup>-channel blocking toxin from the scorpion *Pandinus imperator*. *Biochem. J.* 315, 977-981.
- . Pelhate, M. and Zlotkin. 1981. Voltage-dependent slowing of the turn off of Na<sup>+</sup> current in the cockroach giant axon induced by the scorpion venom "insect toxin". *Journal of Physiology (London)* 319, 30P-31P.
- . Pelhate, M and E. Zlotkin. 1982. Actions of Insect Toxin and Other Toxins Derived From The Venom of The Scorpion *Androctonus australis* on Isolated Giant Axons of The Cockroach (*Periplaneta americana*). *J. Exp. Biol.* 97, 67-77.

- . Possani, L.D., Dent, M.A.R., Martin, B.M., Maeilcke, A. and I. Svendsen. 1981. The amino terminal sequence of several toxins from the venom of the Mexican Scorpion *Centruroides noxius* Hoffmann. Carlsberg Res. Commun. 46, 207-214.
- . Possani, L.D; Martin, B.M; Svendsen, I.B. 1982. The Primary Structure of Noxiutoxin: A K<sup>+</sup> Channel Blocking Peptide, Purified From The Venom of The Scorpion *Centruroides noxius* Hoffmann. Carlsberg Res. Commun. 47, 285-289.
- . Possani, L.D. 1984. Structure of Scorpion Toxins. En: A. Tu (Ed). Handbook of Natural Toxins. Marcel Dekker, New York. 2, 513-550.
- . Rochat, H., Bernard, P and Couraud, F. 1979. Scorpion Toxins: Chemistry and Mode of Action. Advances in Cytopharmacology. 3, 325-334.
- . Sambrook, J., Fritsch, E., T. Maniatis. 1989. Molecular Cloning A Laboratory manual. Cold Spring Harbor laboratory Press. Segunda Edición. Estados Unidos.pp.
- . Sissom, W.D. 1990. Systematics, biogeography and paleontology. In the biology of scorpions. ed. Polis, G.A. Stanford University Press. 65-160.
- . Tapia, J.V. 1994. Determinación de la Secuencia Nucleotídica de cDNAs que Codifican Para Toxinas del Veneno del Alacrán *Centruroides noxius* Hoffmann. Tesis de Licenciatura. Facultad de Ciencias. Universidad Autónoma del Estado de México. México. 50pp.
- . Valdivia, H., Kirby, M., Lederer, J and Coronado, R. 1992. Scorpion toxins targeted against the sarcoplasmic reticulum Ca<sup>2+</sup> - release channel of skeletal and cardiac muscle. Proc. Natl. Acad. Sci. 89. 12185-12189.
- . Vázquez, A., Tapia, J.V., Eliason, W., Martin, B., Lebreton, F., Delepiere, M., Possani, L.D. and Baltazar Becerril. 1995. Cloning and Characterization of the cDNAs Encoding Na<sup>+</sup> Channel-Specific Toxins 1 and 2 of the Scorpion *Centruroides noxius* Hoffmann. Toxicon. 33,9. 1161-1170.
- . Volt, W., and Volt, R. (1990) Proc. Natl. Acad. Sci. USA 87, 5312-5316.
- . Walther, C., Zlotkin, E and Rathmayer, W. 1976. J. Insect Physiol. 22, 1187-1194.

- . Zlotkin, E. and A. Shulov. 1969. A simple device for collecting scorpion venom. Toxicon 7, 331-332.
- . Zlotkin, E., Miranda, F., Kopeyan, C. and S. Lissitzky. 1971. A new toxic protein in the venom of the scorpion *Androctonus australis* Hector. Toxicon 9, 9-13.
- . Zlotkin, E; Miranda, F; and H. Rochat. 1978. Chemistry and Pharmacology of Buthinas scorpion venoms. en Handbook of Experimental Pharmacology. 48. 317-369. Ed. Sergio Bettini, Springer verlag. Berlin.

## **ANEXO**

### **Publicación en Revista Internacional**

**Vázquez, A., Tapia, J.V., Ellason, W., Martin, B., Lebreton, F., Delepiere, M., Possani, L.D. and Baltazar Becerril. 1995. Cloning and Characterization of the cDNAs Encoding Na<sup>+</sup> Channel-Specific Toxins 1 and 2 of the Scorpion *Centruroides noxius* Hoffmann. *Toxicology*. 33,9. 1161-1170.**



Pergamon

0841-010X(95)00000-5

Pharmacol. Vol. 33, No. 5, pp. 1161-1170, 1995  
Copyright © 1995 Elsevier Science Ltd  
Printed in Great Britain. All rights reserved  
0841-010X/95 \$0.25 + 0.40

## CLONING AND CHARACTERIZATION OF THE cDNAs ENCODING $\text{Na}^+$ CHANNEL-SPECIFIC TOXINS 1 AND 2 OF THE SCORPION *CENTRUROIDES NOXIUS* HOFFMANN

ALEJANDRA VAZQUEZ,<sup>1</sup> JUANA V. TAPIA,<sup>1</sup> WILLIAM K. ELIASON,<sup>2</sup>  
BRIAN M. MARTIN,<sup>2</sup> FLORENCE LEBRETON,<sup>3</sup> MURIEL DELEPIERRE,<sup>3</sup>  
LOURIVAL D. POSSANI,<sup>1\*</sup> and BALTAZAR BECERRIL<sup>1</sup>

<sup>1</sup>Departments of Molecular Recognition and Structural Biology, Biotechnology Institute,  
National Autonomous University of Mexico, Avendido Universidad, 2001, Apartado Postal 310-3,  
Cueravaca, Morelos 62271, Mexico; <sup>2</sup>National Institute of Mental Health, Unit on  
Molecular Structure, Clinical Neuroscience Branch, Building 49 BIEE16, Bethesda, MD 20892,  
U.S.A.; and <sup>3</sup>Institut Pasteur, 23 Rue du Dr Roux, 75724 Paris Cedex 15, France

(Received 20 January 1995; accepted 20 March 1995)

A. Vazquez, J. V. Tapia, W. K. Eliason, B. M. Martin, F. Lebreton, M. Delepiere, L. D. Possani and B. Becerril. Cloning and characterization of the cDNAs encoding  $\text{Na}^+$  channel-specific toxins 1 and 2 of the scorpion *Centruroides noxius* Hoffmann. *Toxicol.* **33**, 1161-1170, 1995.—Using a cDNA library prepared from venomous glands of the Mexican scorpion *Centruroides noxius* Hoffmann the genes that encode toxins 1 and 2 were identified, cloned and sequenced. In view of the proposed mechanism for processing the mature peptides coded by these two genes, the corresponding peptide-toxins were sequenced *de novo*. Mass spectrometric and <sup>1</sup>H-NMR analyses of the C-terminal peptide produced by enzymatic digestion of both toxins indicated that the last residue is serine-amide. Sequence comparison revealed that these two genes have a similarity of 36% and 30% at the amino acid and nucleotide levels, respectively. Small corrections to the published primary structures were introduced: Cn toxin 1 has an extra serine residue at position 65 and the residue in position 60 is a proline, while the amino acids at positions 34 and 35 of Cn 2 are, respectively, tyrosine and glycine. Sequence comparison of toxins from the genus *Centruroides* suggests the presence of at least three classes of distinct peptides in these venoms.

### INTRODUCTION

Scorpion venoms contain an assortment of low mol. wt peptides toxic to a variety of organisms, including humans (Miranda *et al.*, 1970; Possani, 1984; Zlotkin *et al.*, 1978). Scorpion toxins have been considered valuable tools for the study of ion channels (Catterall, 1976). Two main families of distinct peptides have been described: (1)

\*Author to whom correspondence should be addressed.

long-chain polypeptides containing 60–70 amino acid residues, which affect  $\text{Na}^+$  channels of excitable cells (Catterall, 1977; Couraud *et al.*, 1982), and (2) short-chain peptides of 31–39 amino acid residues, blockers of  $\text{K}^+$  channels of excitable cells (Carbone *et al.*, 1982; Gimenez-Gallego *et al.*, 1988; Miller *et al.*, 1985; Possani *et al.*, 1982; Strong *et al.*, 1989). We have previously described the purification, characterization and complete primary structure of *C. noxius* toxin 1 (abbreviated Cn1), previously called component II-14 (Possani *et al.*, 1985) and *Centruroides noxius* toxin 2 (abbreviated Cn2), previously called component II-9.2.2 (Zamudio *et al.*, 1992), from *C. noxius* venom. This communication reports the nucleotide sequence of the cDNAs encoding these toxins. Because the peptides encoded by these cDNAs are modified during the maturation process at the N-terminal site (cleavage of signal peptide) and at the C-terminal part (amidation of a serine residue for both Cn1 and Cn2), the amino acid sequence of the corresponding peptides was performed *de novo*. A couple of minor corrections to the published primary structure of Cn1 and Cn2 are now consequently included.

Comparative analysis conducted thereafter suggests the existence of three distinct families or groups of peptides in the venom of scorpions of the genus *Centruroides*.

## MATERIALS AND METHODS

### *Cloning and nucleotide sequencing*

Inserts of cDNA from clones *CnqIV* and *CnqV* (Bucarril *et al.*, 1993) were amplified by PCR using lambda gtl1 forward (5'-TTGTCGCAGCGACCTCCGGAGCCCG) and reverse (5'-TTGACACCGACCAACTG-GCTT) primers (New England Nuclear, Boston, MA, U.S.A.). These primers correspond with the flanking regions of the lambda gtl1 EcoRI cloning site. The reactions were carried out using a Perkin Elmer 9600 using 30 rounds of temperature cycling (92°C for 1 min, 60°C for 1 min and 72°C for 2 min) followed by a final 15 min step at 72°C. Then, PCR products were purified from gel, labelled using [ $^{32}\text{P}$ ]dCTP (New England Nuclear, Boston, MA, U.S.A.) by the random primer extension method (Dupont, kit NEP-103, Boston, MA, U.S.A.) following the instructions of the manufacturer. The labelled PCR products were used to screen the cDNA library. The construction of the lambda gtl1 cDNA library, the screening conditions and sequencing of the desired inserts were performed as described elsewhere (Bucarril *et al.*, 1993). The lambda gtl1 forward and reverse and the M13-20 and M13 reverse oligo primers were used for sequencing.

### *Amino acid sequence determination*

Toxins Cn1 and Cn2 were purified as described by Possani *et al.* (1985) and Zamudio *et al.* (1992). For Cn1 (Possani *et al.*, 1985), an additional chromatographic step on HPLC using a C4 reverse-phase column was introduced. Peptide eluting at 37.33 min corresponded to pure component Cn1 (data not shown). Both toxins were reduced and carboxymethylated (RC-Toxin) (Zamudio *et al.*, 1992). RC-toxin Cn1 was cleaved with protease Asp-N (Boehringer Mannheim, Germany), while RC-toxin Cn2 was digested with protease V8 from *Staphylococcus aureus* (Boehringer Mannheim, Germany). The resulting fragments were separated on HPLC by means of a analytical column (reverse-phase C18 from Vydac, Hesperia, CA, U.S.A.). The ProSequencer model 6400/6400 (Millipore/Bioscience/Millipore Division, Burlington, MA, U.S.A.) was used to determine the corresponding sequences (Vazquez *et al.*, 1993).

### *Mass spectrometry and $^1\text{H-NMR}$ spectroscopy*

Mass spectrometry of the C-terminal fragments of both RC-toxin Cn1 and Cn2 was obtained as earlier described (Vazquez *et al.*, 1993), using both a 3-sector mass spectrometer from Sciex and a Hewlett Packard electrospray mass spectrometer.

For the proton nuclear magnetic resonance ( $^1\text{H-NMR}$ ) experiments, freeze-dried native toxin Cn2 was dissolved in  $\text{H}_2\text{O}/\text{D}_2\text{O}, 9:1$  (v/v). The peptide concentration was 1.5 mM, and the solution pH was adjusted at 3.5. The NMR spectra were run on a Varian Unity 500 MHz spectrometer at 303 K. Data were processed with the VNMR 4.3 (Varian Inc.) software. P, COSY (correlated spectroscopy; Marion and Bas, 1988), clean NOESY (nuclear Overhauser effects spectroscopy; Kumar *et al.*, 1980) experiments were used for the identification of spin systems, as described recently (Loberton *et al.*, 1994).

## RESULTS

*Cloning and nucleotide sequencing*

The cDNA inserts *CnqIV* (probe to look for the cDNA encoding toxin Cn1) and *CnqV* (probe to find the cDNA that codes for toxin Cn2), were used to screen a lambda gt11 cDNA library prepared from *C. noxius* Hoffmann (CnH) venom glands. From these two screenings we detected several positive signals with different intensities. As the required cDNAs should be very similar but not identical to their respective probes, we decided to characterize first the clones that gave intermediate intensities. The corresponding cDNA inserts were subcloned into the *Eco*RV site of pBluescript (Stratagene, La Jolla, CA, U.S.A.) in order to be sequenced. Among the clones showing intermediate signal intensities, the clones containing the cDNAs encoding toxins Cn1 and Cn2 were found. The nucleotide (nt) sequences of clones *CnqVI* and *CnqVII* are shown in Fig. 1. These cDNAs are about 350 bp in length and encode toxin precursors of 86–87 aa. The cDNA encoding toxin Cn2 (*CnqVII*) lacks 16 nt (8 nt corresponding to 5' non-coding region and 8 nt encoding the first 3 aa of the signal peptide), as compared to cDNA encoding toxin

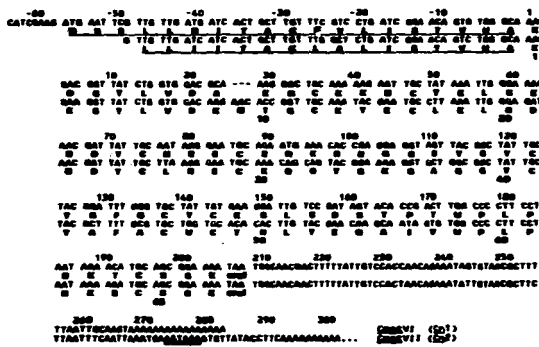


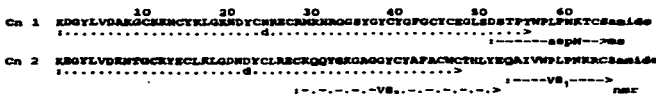
Fig. 1. Nucleotide sequence of the cDNAs encoding toxins 1 and 2 of *Centruroides noxius* Hoffmann.

The nucleotides are numbered above the sequence of *CnqVI* (cDNA encoding toxin Cn1), with positive numbers indicating the first nucleotides encoding the mature toxin and negative numbers indicating from this point the terminal region of the 5' non-coding region. The deduced amino acid sequences are given below the nucleotide sequences and are numbered in bold starting from the N-terminal amino acid residue of the mature toxin taking Cn2 (*CnqVII*) as reference. The signal peptide sequence is underlined. The stop codons are designated by 'end'. A putative polyadenylation signal is doubly underlined in *CnqVII* (cDNA encoding toxin Cn2).

*Cn1* (*CnrgVI*). This loss at the 5' end of *CnrgVII* cDNA was probably due to incomplete elongation during the cDNA synthesis by reverse transcriptase. Comparative analyses between *CnrgVI* and *CnrgVII* revealed a similarity of 56% at the aa level and 80% at the nt level. Similar results were reported when comparing other *C. noxia* cDNAs (Becerril *et al.*, 1993). Since the deduced amino acid sequence in Fig. 1 suggested that the mature peptides were also processed at the C-terminal, with the possibility of amidation of the last amino acid residue (Vazquez *et al.*, 1993), and because small discrepancies were apparent when comparing the nucleotide sequence of Fig. 1 with the published primary structures of *Cn1* (Pomani *et al.*, 1985) and *Cn2* (Zamudio *et al.*, 1992), the full determination of the amino acid sequence of both toxins were performed *de novo*, as described below.

Peptide sequence determination

Reduced and carboxymethylated toxin Cn1 was sequenced by direct Edman degradation up to residue at position 56, as shown in Fig. 2. Additional peptides were generated by enzymatic hydrolysis of RC-toxin Cn1 (Fig. 3a). From the five main fragments obtained in this step the peptide eluting at 30.06 min (labelled with an asterisk in Fig. 3a) gave the amino acid sequence D<sup>\*</sup>SPTTPWPLNPKTC. This peptide fragment corresponded to the C-terminal region of Cn1, and clearly showed a proline (in bold, Fig. 2) at position 60, replacing threonine, previously reported (Possani *et al.*, 1985). Additionally, it showed a serine in position 65, confirming the amino acid sequence deduced from the nucleotide sequence of Fig. 1. This serine residue at position 65 seems to be amidated, as described below. Similarly, automatic sequencing of a sample of RC-toxin Cn2 provided the N-terminal amino acid sequence up to residue 46 (Fig. 2). Digestion of RC-toxin Cn2 with protease V8 produced about 11 peptide fragments (Fig. 3b). The peptide eluting at 35.55 min (labelled 1 in Fig. 3b) corresponded to residues from position 54 to 66, and was used for mass spectrometry analysis, from which the conclusion of an amidated serine at the end was suggested. Peptide 2 (Fig. 3b) showed the amino acid sequence CKQQYKGAGGGYC, corresponding to the position 29 to 41. This sequence showed that the previously published primary structure of Cn2 (Zamudio *et al.*, 1992) had an inversion of



**Fig. 3.** Amino acid sequences of toxins Cn1 and Cn2.

Cn1: The total amino acid sequence of toxin Cn1 was obtained by direct Edman degradation, from residue number 1 to 56 as shown by the radio-labelling ( $\text{:}^32\text{P}$ ). An overlapping peptide purified by HPLC was labelled with  $\text{:}^32\text{P}$  and its sequence determined by Edman degradation. It corresponded to the C-terminal segment, from amino acid residue number 52 to 63, under-labelled with ( $\text{:}^{32}\text{APN}$ :>). The C-terminal at position 65 was shown to be amidated by mass spectrometry (ms).

Cn2: The total amino acid sequence of toxin Cn2 was obtained by direct sequencing from residues 1 to 48 (Table 1). In addition, peptide V<sub>2</sub>, obtained by additional sequencing of the N-terminus of RC-toxin digested with protease V<sub>8</sub>, corresponds to residues 54–66 of the primary structure, and peptide V<sub>23</sub> is overlapping the sequence from residues 29 to 53. The C-terminal at position 66 was shown to be amidated by ms. The C-terminal at position 67 was also determined by ms. Furthermore, the C-terminal at position 68 was determined by the nucleotide sequence of the

Fig. 1

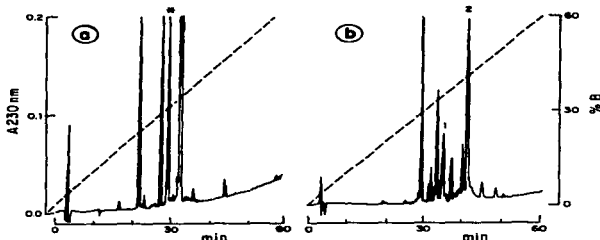
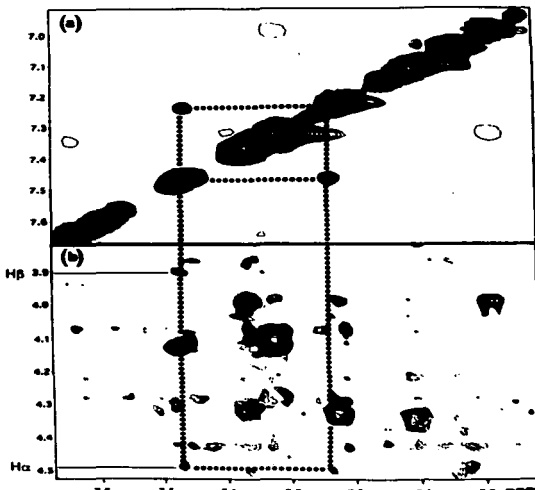


Fig. 3. HPLC separation of peptides generated by endopeptidase cleavage of Cn1 and Cn2. (a) RC-toxin Cn1 (approx. 100 µg) was digested with Asp-N endopeptidase and separated in a C18 reverse phase column directly on-line with an analytical HPLC system (0.10% trifluoroacetic acid in acetonitrile) at a flow rate of 1 ml/min, and eluted into a second column packed with 60% solvent B (0.12% trifluoroacetic acid in acetonitrile), for 60 min. \*Peptide corresponding to the C-terminal segment of Fig. 2. (b) RC-toxin Cn2 (approx. 100 µg) was digested with *Staphylococcus aureus* protease V8 and separated in the same system as (a). Numbers 1 and 2 correspond, respectively, to the overlapping peptides V8<sub>1</sub> and V8<sub>2</sub> of Fig. 2.

amino acids at positions 33 and 34 (bold in Fig. 2), tyrosine being the one at position 33 and glycine the one at position 34; hence confirming the nucleotide sequence found in Fig. 1. Toxin Cn2 was also analysed by NMR, as discussed below, and unequivocally showed that the last residue in position 66 was amidated.

#### *Mass spectrometry and <sup>1</sup>H-NMR spectroscopy*

The pure peptide corresponding to the C-terminal region of Cn1, after cleavage with the protease Asp-N (labelled with an asterisk in Fig. 3a), was additionally submitted to mass spectroscopy analysis showing the presence of a mol. mass of 1602.7 indicating that the serine at the end, position 65, might be amidated. Similarly, the pure C-terminal peptide of RC-toxin Cn 2 (with sequence QAIIVWPLPNKRC\$) was analysed by mass spectrometry, giving a mol. mass of 1568.4, consistent with the presence of an amidated serine at the end of this peptide. Thus, these results confirmed both the amino acid sequence that was directly determined and the sequence inferred from the nucleotide sequence. Further confirmation of the results found for Cn2 toxin came from <sup>1</sup>H-NMR spectroscopy analysis. Using a combination of 2D (two-dimensional)-NMR experiments, most of the protons in the Cn2 toxin have been assigned, and the NMR three-dimensional structure of Cn2 is under refinement (Lebreton, F., Gurrola, G. B., Possani, L. D. and Delepiere, M. in preparation). Owing to the characteristic pattern of serine spin system (Wuthrich, 1986) and to the uniqueness of this residue in the Cn2 sequence, the protons of the serine at position 66 (Ser66) were assigned unambiguously (with  $\delta_{\text{HN}}$ : 8.79 ppm;  $\delta_{\text{Hx}}$ : 4.49 ppm;  $\delta_{\text{H}\beta 1}$ : 3.91 ppm;  $\delta_{\text{H}\beta 2}$ : 3.98 ppm). In the NOESY spectra, cross-peaks were observed between a proton at 7.47 ppm and Ser66: H<sub>a</sub>, H<sub>n</sub>, and H<sub>B1</sub> protons. A smaller NOE



**Fig. 4.** Connectivities observed in the ROESY (a) and NOESY (b) spectra allowing the assignment of the two amide protons of the amide group in the side-chain position of C-terminal  $\beta$ -amylase. (a) ROESY experiment run with a mixing time of 200 msec at 303 K. The positive peaks due to chemical exchange are shown with numerous contour levels, and the negative peaks due to dipolar interaction are drawn with only one contour level. The two amide protons of the amidated-Ser66 resonating at 7.47 ppm and 7.24 ppm display a positive ROE cross-peak. (b) NOESY experiment run with a mixing time of 60 msec at 303 K shows the correlations observed between one of the amide proton at 7.47 ppm and the Ser66:  $H\alpha$  and  $H\beta/1$  protons. A smaller NOE cross-peak is also present between the second amide proton resonating at 7.24 ppm and the Ser66:  $H\alpha$  proton.

cross-peak was also present between a proton resonating at 7.24 ppm and Ser66:  $H\alpha$  proton. These two protons (at 7.47 and 7.24 ppm) are scalarly coupled as shown in the TOCSY and P. COSY experiments. The ROESY experiment (Kessler *et al.*, 1987), run with a mixing time of 200 msec at 303 K, indicates that these two protons are in chemical exchange, as expected for the protons of an amide function. Some of the connectivities

observed in the ROESY and NOESY spectra are shown in Fig. 4. Therefore, the two protons unambiguously assigned at 7.47 ppm and 7.24 ppm demonstrate the presence of the amidated serine at the C-terminal position.

#### DISCUSSION

The structure of the cDNAs reported (Fig. 1) shows the presence of an open reading frame encoding a signal peptide (19 aa for toxin Cn1) followed by a region encoding the mature peptide (65–66 aa) and two additional codons that code for a basic residue (Lys) preceded by a glycine residue, and finally a stop codon and 60–90 bp as a 3' non-coding region in which the polyadenylation site should be included (the latter is evident in the cDNA reported for toxin Cn2). A similar canonical structure has been reported for cDNAs encoding toxins of the North African scorpion *Androctonus australis* Hector (Bougis *et al.*, 1989) and the Mexican scorpion *Centruroides noxius* (Becerril *et al.*, 1993). The isolated and sequenced peptides from these scorpion venoms showed that they are processed in both ends: the signal peptides are eliminated and the C-terminal residues are processed given either a free carboxyl group or an amidated end-terminal amino acid residue. The basic residue situated in front of the codon of termination is not present in the mature peptides and when Gly precedes one or two basic residues, the residue preceding Gly becomes amidated (Bougis *et al.*, 1989; Vazquez *et al.*, 1993). According to these rules the carboxyl end of toxins Cn1 and Cn2 should be: ... cysteinyl-serinamide. This seems to be true for both toxins, as demonstrated by the NMR and mass spectroscopy data presented here. Unfortunately, the NMR spectroscopy data are not yet available for Cn1. However, the mass spectrometry and NMR data obtained for Cn2 leave no doubt that the rule discussed previously (Becerril *et al.*, 1993; Bougis *et al.*, 1989; Vazquez *et al.*, 1993) holds true, at least for the latter toxin, where the Ser66 is now definitively established to be amidated.

The similarity at the nt level between *Cng/VI* and *Cng/VII* suggests that these cDNAs originate from mRNAs transcribed from closely related genes. This last premise can be generalized for *CnH* toxin genes. We have proposed that toxins of scorpions of the *Centruroides* genus, specific for  $\text{Na}^+$  channels, can be divided into three groups (Fig. 5) according to their primary sequences (Becerril *et al.*, 1993). It has also been suggested that there is a relationship between the various groups of distinct amino acid sequences and the pharmacological properties (specific for mammals, crustaceans and insects) of the toxins included in each group or family of different peptides.

The similarity among the cDNAs we have reported thus far, at the aa level fluctuates between 56% and 91%, but at the nt level oscillates between 80% and 92%. Even for cDNAs with 56% similarity at the aa level, the similarity in the region encoding the signal peptide and the 3' non-coding region is remarkable. This analysis led us to conclude that the genes encoding toxins of the *CnH* venom have been generated from an ancestor gene which experienced several duplications, and each duplicated version evolved independently. This same phenomenon might have occurred in other species of the *Centruroides* genus. A similar event has been observed in the case of the North African scorpion *A. australis* Hector (Bougis *et al.*, 1989).

Returning to the discussion of the species specificity of the scorpion toxins, this subject is still under intense investigation. The groups in Fig. 5 were initially proposed based on sequence comparison (Becerril *et al.*, 1993), but they also correspond to results obtained with the purified peptides using mice, crickets and crustaceans as bioassays. Examples of

the first group, which include peptides from scorpions of the genus *Centruroides* toxic to mice, were reported by Rochat *et al.* (1979) for *C. suffusus suffusus* toxin II (Fig. 5); Possani *et al.* (1982), Zamudio *et al.* (1992), Vazquez *et al.* (1993) for *C. noxius* toxins 2 (same as *Cnq*/VII), 3 and 4 (same as *Cnq*/V in Fig. 5), respectively; and finally, for *C. l. tecomanus* toxin I (*CtI* 1 in Fig. 5) by Ramirez *et al.* (1988) and Martin *et al.* (1988). For purposes of comparison the sequences deduced from cDNAs (labelled *Cnq*:X, where X is a Roman number in Fig. 5) include the unprocessed end terminal residues. The consensus residues (Cons. 1, bottom part of group 1 in Fig. 5), meaning identical amino acids at the same position in all sequences, are very high. Furthermore, toxins Cn2 and Cn3 were shown to be non-toxic to crustaceans, at doses lethal to mice (Serrano, S. and Possani, L. D., unpublished observations).

The second group contains examples of representative toxins specific to insects, such as the variants 1, 2 and 3 (*Csv*1–3 in Fig. 5) from the scorpion *C. sculpturatus*, as described by Babin *et al.* (1974), and minor corrections for variant 3 by Fontecilla-Camps *et al.* (1980). This group includes two amino acid sequences deduced from cDNAs (*Cnq*/II and *Cnq*/III, Fig. 5), from which only *Cnq*/II has already been isolated as an expressed peptide. It turns out to be toxic to insects and crustaceans, but definitely non-toxic to mammals. Also included is *Cll*, a new crustacean toxin isolated from *C. limpidus limpidus* scorpion (Lebreton *et al.*, 1994). The consensus sequence (Cons. 2) for this group is striking.

GROUP 1	10	20	30	40	50	60
<i>Cnq</i> /VII	RGGYLVRKEDGQHCKYRCLLGDNDYCLAEKQGRRGCGTCTAFACGTCCTLWGRQIVVPPVPLPHECSC					
<i>Csv</i> 1	RGGYLVLSESTGCKECLLGDNDYCLAEKQGRRGCGTCTAFACGTCCTLWGRQIVVPPVPLPHECSC					
<i>CtI</i> 1	RGGYLVRMSTGCKECLLGDNDYCLAEKQGRRGCGTCTAFACGTCCTLWGRQIVVPPVPLPHECSC					
<i>Cn3</i>	RGGYLVRLOTGCKECLLGDNDYCLAEKQGRRGCGTCTAFACGTCCTLWGRQIVVPPVPLPHECSC					
<i>Cnq</i> /V	RGGYLVRMSTGCKECLLGDNDYCLAEKQGRRGCGTCTAFACGTCCTLWGRQIVVPPVPLPHECSC					
Cons. 1	RGGYLVRMSTGCKECLLGDNDYCLAEKQGRRGCGTCTAFACGTCCTLWGRQIVVPPVPLPHECSC					
GROUP 2	10	20	30	40	50	60
<i>Csv</i> 1	RGGYLVRKEDGQHCKYRCLLGDNDYCLAEKQGRRGCGTCTAFACGTCCTLWGRQIVVPPVPLPHECSC					
<i>Cnq</i> /II	RGGYLVRMSTGCKECLLGDNDYCLAEKQGRRGCGTCTAFACGTCCTLWGRQIVVPPVPLPHECSC					
<i>Csv</i> 2	RGGYLVRKEDGQHCKYRCLLGDNDYCLAEKQGRRGCGTCTAFACGTCCTLWGRQIVVPPVPLPHECSC					
<i>Cnq</i> /III	RGGYLVRMSTGCKECLLGDNDYCLAEKQGRRGCGTCTAFACGTCCTLWGRQIVVPPVPLPHECSC					
<i>Cll</i>	RGGYLVRMSTGCKECLLGDNDYCLAEKQGRRGCGTCTAFACGTCCTLWGRQIVVPPVPLPHECSC					
<i>Csv</i> 3	RGGYLVRKEDGQHCKYRCLLGDNDYCLAEKQGRRGCGTCTAFACGTCCTLWGRQIVVPPVPLPHECSC					
Cons. 2	RGGYLVRMSTGCKECLLGDNDYCLAEKQGRRGCGTCTAFACGTCCTLWGRQIVVPPVPLPHECSC					
GROUP 3	10	20	30	40	50	60
<i>Cnq</i> /I	RGGYLVRKEDGQHCKYRCLLGDNDYCLAEKQGRRGCGTCTAFACGTCCTLWGRQIVVPPVPLPHECSC					
<i>Cnq</i> /IV	RGGYLVRMSTGCKECLLGDNDYCLAEKQGRRGCGTCTAFACGTCCTLWGRQIVVPPVPLPHECSC					
<i>Cnq</i> /VI	RGGYLVDV—KQCHKEKCTLGKEDYTCRCKEMENRQGSGTGTCTGFCGTCTCBLGLADSTTPVPLPHECSC					
<i>Cnq</i> /VII	RGGYLVDV—KQCHKEKCTLGKEDYTCRCKEMENRQGSGTGTCTGFCGTCTCBLGLADSTTPVPLPHECSC					
Cons. 2	RGGYLVDV—KQCHKEKCTLGKEDYTCRCKEMENRQGSGTGTCTGFCGTCTCBLGLADSTTPVPLPHECSC					

Fig. 5. Amino acid sequence comparison of main representatives of *Centruroides* scorpion toxins. These sequences were grouped according to their similarities. Caps (-) were introduced where necessary to make the alignment easier. Within each group a consensus sequence deduced from cDNAs (denoted as *Cnq* and a Roman number) are included. The last two residues at the carboxyl end of the peptides encoded by *Cnq* II, V, VI and VII cDNAs, are not present in the mature toxin. The last two residues of the peptides encoded by cDNAs III and IV (peptides not yet isolated from the venom) are presumably not present either. The *as* are aligned with the last digits of the numbers. The last two digits of the mature peptides encoded by *Cnq* I, II, III, IV (Vazquez *et al.*, 1993), *Cnq*/VI and *Cnq*/VII (this study), are asparagine-aspartide, serine-aspartide and threonine-aspartide, respectively. Data are from this study, Ricciuti *et al.* (1993), Móres *et al.* (1984), Zamudio *et al.* (1992) and Lebreton *et al.* (1994).

The third group contains toxin Cn1 (same as Cng/VI, Fig. 5) which was originally said to be toxic to mice (Possani *et al.*, 1985), but has turned out to be rather toxic to crustaceans (Serrano, S. and Possani, L. D., unpublished observations). The initial purified toxin Cn1 (Possani *et al.*, 1985) contained a small contaminant of toxin Cn7, which is one of the most toxic peptides to mammals, isolated from the venom of *C. noxius*, with  $K_D = 40 \text{ pM}$  to rat brain synaptosomes (Valdivila *et al.*, 1994). Thus, toxin Cn1 was assayed in crustaceans, showing a considerable degree of toxicity, but was non-toxic to mice at doses up to  $100 \mu\text{g}/20 \text{ g}$  mouse.

The peptide coded for Cng/IV (Fig. 5) is still unknown. Toxin CsEI, from *C. sculpturatus* (Babin *et al.*, 1974), is toxic to cockroaches. Thus, the latter group, which also has an important consensus sequence (Cons. 3, Fig. 5) is less well studied and is not strictly specific to crustaceans.

In conclusion, the various groups of toxins compared in Fig. 5 seem to show, *gross modo*, a certain degree of species specificity. Although more experiments are under way to refine the data, it is worth noting that similar primary structures are apparently conditioning similar pharmacological effects *in vivo*.

*Note added in proof*—While this manuscript was under revision a new set of experiments was conducted with toxin Cn1 by an independent operator, showing unequivocally that this peptide is amidated at the end terminal residue ( $\alpha$ -amino- $\omega$ -toxin I from *N. maculata*) and that the amidated peptide ( $\omega$ -toxin II) analysed by HPLC (similar to Fig. 3) and peptide corresponding to the C-terminal segment (residues 57–65) were analysed by mass spectrometry. Eight spectra were obtained and using three ions per spectrum (the all 12 C, the i3 C1 and i3 C2 doubly charged species) gave 24 data points which gave an average mol. wt of 1602.73, consistent with an amidated C-terminal amino acid residue. The authors wish to thank Dr Carl Ijames, from N.I.M.H., for running these spectra and calculating the mol. wt of the peptide.

**Acknowledgements**—This work was partially-supported by grants from Howard Hughes Medical Institute (73191-527104), DGAPA-UNAM IN202893 and CONACyT-Mexico (0018-N9105) to LDP, and by funds from the Pasteur Institute (Paris) and the French National Center of the Scientific Research to MD.

## REFERENCES

- Babin, D. R., Watt, D. D., Goos, S. M. and McLinck, R. V. (1974) Amino acid sequences of neurotoxic protein variants from the venom of *Centruroides sculpturatus* Ewing. *Arch. Biochem. Biophys.* **166**, 694–706.
- Becerril, B., Vasquez, A., Garcia, C., Corona, M., Bolivar, F. and Possani, L. D. (1993) Cloning and characterization of cDNA/Amidopeptidase code for Na<sup>+</sup>-channel-blocking toxins of the scorpion *Centruroides noxius*. *Hoffmanns. Gene* **128**, 163–171.
- Bougis, P. E., Rochat, H. and Smith, L. A. (1989) Precursors of *Androctonus australis* Hector. *J. Mol. Chem.* **36A**, 19,259–19,263.
- Carbone, E., Wanke, E., Prestipino, G., Possani, L. D. and Maciuk, A. (1982) Selective blockage of voltage-dependent K<sup>+</sup> channels by a novel scorpion toxin. *Nature* **296**, 90–91.
- Catterall, W. A. (1977) Purification of a protein toxin from scorpion venom which activates the action potential Na<sup>+</sup> ionophore. *J. biol. Chem.* **251**, 5528–5536.
- Catterall, W. A. (1977) Activation of the action potential Na<sup>+</sup> ionophore by neurotoxins. An allosteric model. *J. biol. Chem.* **252**, 8669–8676.
- Couraud, F., Jover, E., Dubois, J. M. and Rochat, H. (1982) Two types of scorpion receptor sites, one related to the other by inactivation of the action potential. *Transact. Roy. Soc. Trop. Med. Hyg.* **76**, 33–36.
- Fonseca-Campoy, J. C., Almudevar, R. J., Suddath, F. L., Watt, D. D. and Bush, C. E. (1980) Three-dimensional structure of a protein from scorpion venom: a new structural class of neurotoxins. *Proc. Natl. Acad. Sci. U.S.A.* **77**, 6496–6500.
- Gimenez-Gallego, G., Navia, M. A., Reuben, J. P., Kata, G. M., Kaczorowski, G. J. and Garcia, M. L. (1988) Potassium channel blocking activity of a hydrophobic polypeptide: a potent selective inhibitor of calcium-activated potassium channels. *Proc. Natl. Acad. Sci. U.S.A.* **85**, 3229–3233.
- Grusinger, C., Oetting, G., Wuthrich, K. and Ernst, R. B. (1988) Clean TOCSY for <sup>1</sup>H spin system identification in macromolecules. *J. Am. chem. Soc.* **110**, 7870–7872.

- Kessler, H., Griesinger, C., Kernesbaum, R., Wagner, K. and Ernst, R. R. (1987) Separation of cross-relaxation and J cross-peaks in 2D rotating-frame NMR spectroscopy. *J. Am. Chem. Soc.* **109**, 607-609.
- Kumar, A., Martin, B. and Vazquez, A. (1980) A two-dimensional nuclear overhauser enhancement (2D NOE) experiment for the elucidation of cross and proton-proton cross relaxation networks in biological macromolecules. *Biochem. biophys. Res. Commun.* **95**, 1-6.
- Lebreton, F., Deleperre, M., Ramirez, A. N., Baldares, C. and Posani, L. D. (1994) Primary and NMR three-dimensional structure determination of a novel crustacean toxin from the venom of the scorpion *Centruroides limpidus Karsch*. *Biochemistry* **33**, 11,135-11,149.
- Martin, D. and Bode, A. (1988) COSY: a sensitive alternative for double-quantum-filtered COSY. *J. Magn. Reson.* **88**, 528-533.
- Martin, B. M., Carbone, E., Yatani, A., Brown, A. M., Ramirez, A. N., Gurrola, G. B. and Posani, L. D. (1988) Amino acid sequence and physiological characterization of toxins from the venom of the scorpion *Centruroides limpidus Karsch*. *Int. J. Protein Res.* **7**, 11-16.
- Martin, H., Simard, M. and Ward, D. D. (1984) Biochemical and electrophysiological characteristics of toxins isolated from the venom of the scorpion *Centruroides sculpturatus*. *J. Physiol. Paris* **79**, 185-191.
- Miller, C., Moczydlowski, E., Latorre, R. and Phillips, M. (1985) Charybdotoxin, a protein inhibitor of single  $\text{Ca}^{2+}$ -activated  $K^+$  channels from mammalian skeletal muscle. *Nature* **313**, 316-319.
- Mitola, F., Kopyyan, C., Rochat, H., Rochat, C. and Jaiswal, S. (1970) Purification of animal neurotoxins. Isolation of a charybdotoxin from the venom of the scorpion *Androctonus australis* Hector. *Buthus occitanus nigerinus* and *Leiurus quinquecinctus quinquecinctus*. *Eur. J. Biochem.* **16**, 514-523.
- Posani, L. D. (1984) Structure of scorpion toxins. In: *Handbook of Natural Toxins*, Vol. 2, pp. 513-550 (Tu, A. T., Ed.). New York: Marcel Dekker.
- Posani, L. D., Martin, B. M. and Svendsen, I. (1982) The primary structure of noxiustoxin: a potassium channel blocking peptide isolated from the venom of the scorpion *Centruroides noxius Hoffmann*. *Carlsberg Res. Comm.* **47**, 285-289.
- Posani, L. D., Martin, B. M., Svendsen, I., Rode, G. S. and Erickson, R. W. (1985) Scorpion toxins from *Centruroides noxius* and *Tityus serrulatus*: Primary structures and sequence comparison by metric analysis. *Biochem. J.* **239**, 739-750.
- Ramirez, A. N., Gurrola, G. B., Martin, B. M. and Posani, L. D. (1988) Isolation of several toxins from the venom of the scorpion *Centruroides limpidus leucostoma* Hoffmann. *Toxicon* **26**, 773-783.
- Rochat, H., Bernard, P. and Couraud, P. (1979) Scorpion toxins: chemistry and mode of action. In: *Advances in Cytopharmacology*, Vol. 3, pp. 325-334 (Coccarelli, B. and Clementi, F., Eds.). New York: Raven Press.
- Strong, P. N., Weir, S. W., Beech, D. J., Hiestand, P. and Kocher, H. P. (1989) Effect of potassium channel toxins from *Leiurus quinquecinctus hebraicus*. *Br. J. Pharmac.* **98**, 817-826.
- Vazquez, A., Boceretti, B., Martin, B. M., Zamudio, F., Bolivar, F. and Posani, L. D. (1993) Primary structure of the first coming of the cDNA encoding toxin 4 of the scorpion *Centruroides noxius* Hoffmann. *FEBS Lett.* **330**, 43-46.
- Wuthrich, K. (1986) *NMR of Proteins and Nucleic Acids*, pp. 1-292 (Wuthrich, K., Ed.). New York: Wiley.
- Zamudio, F., Saavedra, R., Martin, B. M., Gurrola-Briales, G., Herion, P. and Posani, L. D. (1992) Amino acid sequence and immunological characterization with monoclonal antibodies of two toxins from the venom of the scorpion *Centruroides noxius*. *Eur. J. Biochem.* **211**, 171-179.
- Zlotkin, E., Miranda, F. and Bischai, C. (1978) Chemistry and pharmacology of Buthinas scorpion venoms. In: *Handbook of Experimental Pharmacology*, Vol. 48, pp. 317-369 (Bettini, S., Ed.). Berlin: Springer.